

Zulassungsstelle für Bauprodukte und Bauarten

Bautechnisches Prüfamts

Eine vom Bund und den Ländern
gemeinsam getragene Anstalt des öffentlichen Rechts



Europäische Technische Bewertung

ETA-19/0160
vom 30. Oktober 2023

Allgemeiner Teil

Technische Bewertungsstelle, die die Europäische Technische Bewertung ausstellt

Deutsches Institut für Bautechnik

Handelsname des Bauprodukts

Hilti HIT-HY 270 mit HAS und HAS-U

Produktfamilie,
zu der das Bauprodukt gehört

Metall-Injektionsdübel zur Verankerung im Mauerwerk

Hersteller

Hilti Aktiengesellschaft
9494 SCHAAN
FÜRSTENTUM LIECHTENSTEIN

Herstellungsbetrieb

Hilti Werke

Diese Europäische Technische Bewertung enthält

52 Seiten, davon 3 Anhänge, die fester Bestandteil dieser Bewertung sind.

Diese Europäische Technische Bewertung wird ausgestellt gemäß der Verordnung (EU) Nr. 305/2011, auf der Grundlage von

330076-01-0604, Edition 10/2022

Diese Fassung ersetzt

ETA-19/0160 vom 30. August 2019

Die Europäische Technische Bewertung wird von der Technischen Bewertungsstelle in ihrer Amtssprache ausgestellt. Übersetzungen dieser Europäischen Technischen Bewertung in andere Sprachen müssen dem Original vollständig entsprechen und müssen als solche gekennzeichnet sein.

Diese Europäische Technische Bewertung darf, auch bei elektronischer Übermittlung, nur vollständig und ungekürzt wiedergegeben werden. Nur mit schriftlicher Zustimmung der ausstellenden Technischen Bewertungsstelle kann eine teilweise Wiedergabe erfolgen. Jede teilweise Wiedergabe ist als solche zu kennzeichnen.

Die ausstellende Technische Bewertungsstelle kann diese Europäische Technische Bewertung widerrufen, insbesondere nach Unterrichtung durch die Kommission gemäß Artikel 25 Absatz 3 der Verordnung (EU) Nr. 305/2011.

Besonderer Teil

1 Technische Beschreibung des Produkts

Das Injektionssystem Hilti HIT-HY 270 mit HAS und HAS-U für Mauerwerk ist ein Verbunddübel (Injektionstyp), der aus einem Foliengebilde mit Injektionsmörtel Hilti HIT-HY 270, einer Siebhülse und einer Gewindestange mit Sechskantmutter und Unterlegscheibe in den Größen M6 bis M16 besteht. Die Stahlteile bestehen aus verzinktem Stahl, nichtrostendem Stahl oder hochkorrosionsbeständigem Stahl.

Die Ankerstange wird in ein mit Injektionsmörtel gefülltes Bohrloch gesetzt und durch den Verbund und/oder Formschluss zwischen Stahlteil, Injektionsmörtel und Mauerwerk verankert.

Die Produktbeschreibung ist in Anhang A angegeben.

2 Spezifizierung des Verwendungszwecks gemäß dem anwendbaren Europäischen Bewertungsdokument

Von den Leistungen in Abschnitt 3 kann nur ausgegangen werden, wenn der Dübel entsprechend den Angaben und Bedingungen nach Anhang B verwendet wird.

Die Prüf- und Bewertungsmethoden, die dieser Europäischen Technischen Bewertung zu Grunde liegen, führen zur Annahme einer Nutzungsdauer des Dübels von mindestens 50 Jahren. Die Angabe zur Nutzungsdauer kann nicht als Garantie des Herstellers ausgelegt werden, sondern ist lediglich ein Hilfsmittel zur Auswahl des richtigen Produkts in Bezug auf die erwartete wirtschaftlich angemessene Nutzungsdauer des Bauwerks.

3 Leistung des Produkts und Angaben der Methoden ihrer Bewertung

3.1 Mechanische Festigkeit und Standsicherheit (BWR 1)

Wesentliches Merkmal	Leistung
Charakteristischer Widerstand unter statischen und quasi-statische Lasten	Siehe Anhang B7 bis B9 und C1 bis C30
Charakteristischer Widerstand unter Erdbebenbeanspruchung	Leistung nicht bewertet

3.2 Brandschutz (BWR 2)

Wesentliches Merkmal	Leistung
Brandverhalten	Klasse A1
Feuerwiderstand unter Zug- und Querbeanspruchung mit und ohne Hebelarm, minimaler Achs- und Randabstand	Leistung nicht bewertet

3.3 Hygiene, Gesundheit und Umweltschutz (BWR 3)

Wesentliches Merkmal	Leistung
Inhalt, Emission und/oder Freisetzung von gefährlichen Stoffen	Leistung nicht bewertet

4 Angewandtes System zur Bewertung und Überprüfung der Leistungsbeständigkeit mit der Angabe der Rechtsgrundlage

Gemäß dem Europäischen Bewertungsdokument EAD 330076-01-0604 gilt folgende Rechtsgrundlage: [97/177/EG].

Folgendes System ist anzuwenden: 1

5 Für die Durchführung des Systems zur Bewertung und Überprüfung der Leistungsbeständigkeit erforderliche technische Einzelheiten gemäß anwendbarem Europäischen Bewertungsdokument

Technische Einzelheiten, die für die Durchführung des Systems zur Bewertung und Überprüfung der Leistungsbeständigkeit notwendig sind, sind Bestandteil des Prüfplans, der beim Deutschen Institut für Bautechnik hinterlegt ist.

Folgende Normen werden in dieser europäisch technischen Bewertung in Bezug genommen:

- EN 1993-1-4:2006 + A1:2015 Eurocode 3: Bemessung und Konstruktion von Stahlbauten - Teil 1-4: Allgemeine Bemessungsregeln - Ergänzende Regeln zur Anwendung von nichtrostenden Stählen
- EN 10088-1:2014 Nichtrostende Stähle - Teil 1: Verzeichnis der nichtrostenden Stähle
- EN 10204:2004 Metallische Erzeugnisse - Arten von Prüfbescheinigungen
- EN 998-2:2016 Festlegungen für Mörtel im Mauerwerksbau - Teil 2: Mauermörtel
- EN 771-1:2011 + A1:2015 Festlegungen für Mauersteine - Teil 1
- EN 771-2:2011 + A1:2015 Festlegungen für Mauersteine - Teil 2: Kalksandsteine
- EN 771-3:2011 + A1:2015 Festlegungen für Mauersteine - Teil 3: Mauersteine aus Beton (mit dichten und porigen Zuschlägen)
- EN 15037-3: 2009 + A1:2011 Betonfertigteile - Balkendecken mit Zwischenbauteilen - Teil 3: Keramische Zwischenbauteile

Ausgestellt in Berlin am 30. Oktober 2023 vom Deutschen Institut für Bautechnik

Dipl.-Ing. Beatrix Wittstock
Referatsleiterin

Beglaubigt
Baderschneider

Einbauzustand

Bild A1: Lochstein und Vollstein mit HAS... und HAS-U... und einer Siebhülse HIT-SC (siehe Tabelle B5)

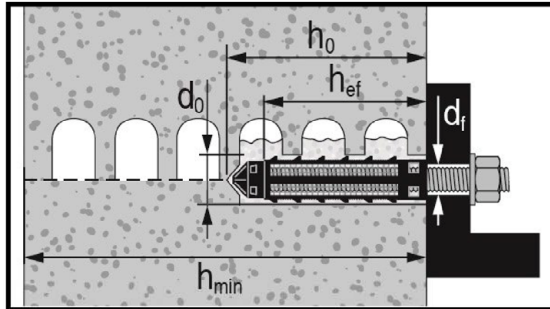


Bild A2: Lochstein und Vollstein mit HAS... und HAS-U... und zwei Siebhülsen HIT-SC für große Verankerungstiefe (siehe Tabelle B6)

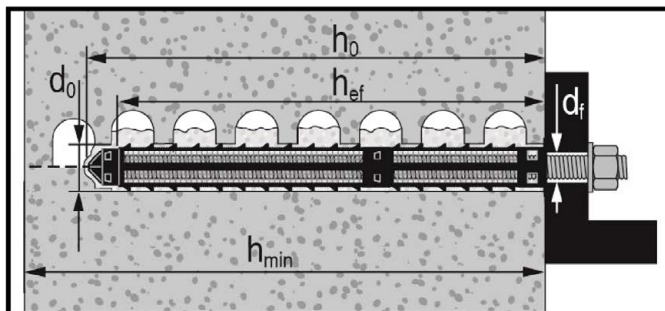
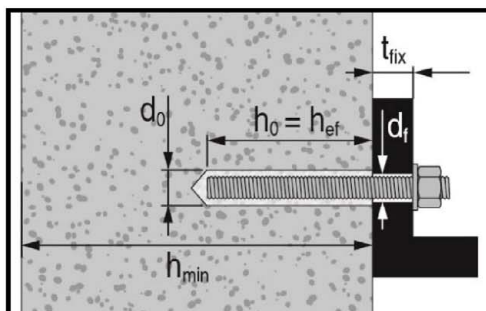


Bild A3: Vollstein mit HAS... und HAS-U... (siehe Tabelle B7)

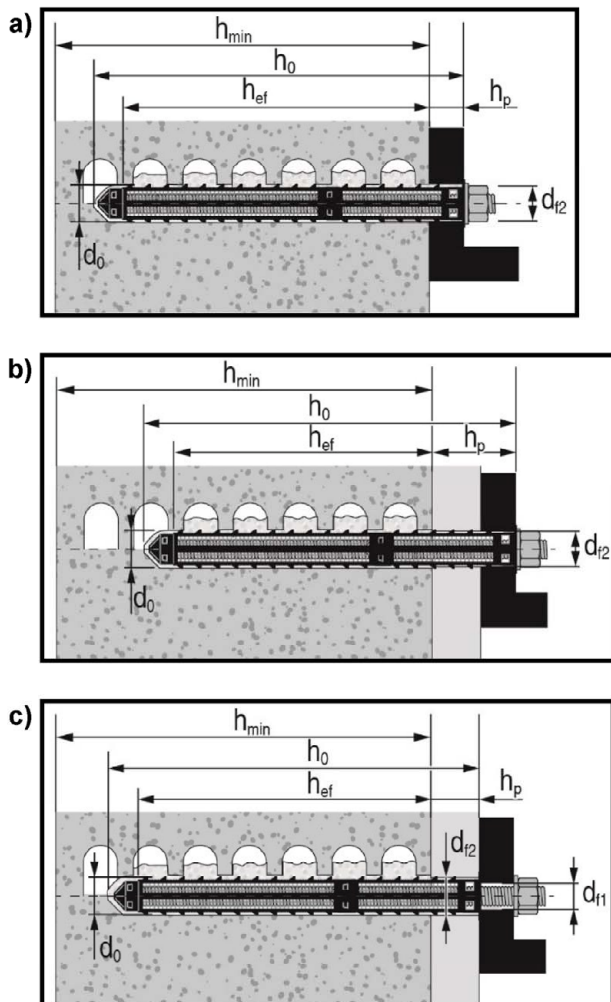


Hilti HIT-HY 270 mit HAS und HAS-U

Produktbeschreibung
Einbauzustand

Anhang A1

Bild A4: Lochstein und Vollstein mit HAS... und HAS-U... mit zwei Siebhülsen HIT-SC zur Montage durch das Anbauteil und/oder durch eine nichttragende Schicht (siehe Tabelle B8)



Hilti HIT-HY 270 mit HAS und HAS-U

Produktbeschreibung
Einbauzustand

Anhang A2

Produktbeschreibung: Injektionsmörtel und Stahlelemente

**Injektionsmörtel Hilti HIT-HY 270: Hybridsystem mit Zuschlag
330 ml und 500 ml**

Kennzeichnung
HILTI HY-270
Chargennummer und
Produktionslinie
Verfallsdatum mm/yyyy

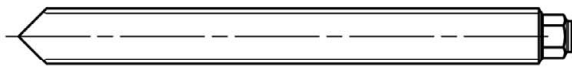


Produktname: "Hilti HIT-HY 270"

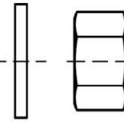
Statikmischer Hilti HIT-RE-M



HAS-U...

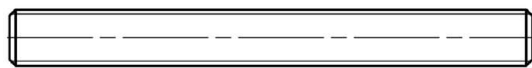


M6 bis M16

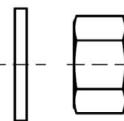


Scheibe Mutter

HAS...

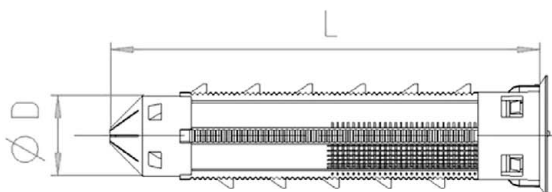


M8 bis M16



Scheibe Mutter

Siebhülse HIT-SC 12 bis 22



Kopfkennzeichnung:
z.B. HIT-SC 18x85

Hilti HIT-HY 270 mit HAS und HAS-U

Produktbeschreibung
Injektionsmörtel / Statikmischer / Stahlelemente / Siebhülsen

Anhang A3

Tabelle A1: Werkstoffe

Bezeichnung	Werkstoff
Stahlteile aus verzinktem Stahl	
HAS 5.8 (HDG), HAS-U 5.8 (HDG)	Festigkeitsklasse 5.8, $f_{uk} = 500 \text{ N/mm}^2$, $f_{yk} = 400 \text{ N/mm}^2$, Bruchdehnung ($l_0=5d$) > 8% duktil Galvanisch verzinkt $\geq 5 \mu\text{m}$, (HDG) Feuerverzinkt $\geq 50 \mu\text{m}$
HAS 8.8 (HDG), HAS-U 8.8 (HDG)	Festigkeitsklasse 8.8, $f_{uk} = 800 \text{ N/mm}^2$, $f_{yk} = 640 \text{ N/mm}^2$, Bruchdehnung ($l_0=5d$) > 12% duktil Galvanisch verzinkt $\geq 5 \mu\text{m}$, (HDG) Feuerverzinkt $\geq 50 \mu\text{m}$
Scheibe	Galvanisch verzinkt $\geq 5 \mu\text{m}$ Feuerverzinkt $\geq 50 \mu\text{m}$
Mutter	Festigkeit der Mutter abgestimmt auf Festigkeit der Gewindestange Galvanisch verzinkt $\geq 5 \mu\text{m}$, Feuerverzinkt $\geq 50 \mu\text{m}$
Stahlteile aus nichtrostendem Stahl Korrosionsbeständigkeitsklasse (CRC) III gemäß EN 1993-1-4	
HAS A4 HAS-U A4	Festigkeitsklasse 70, $f_{uk} = 700 \text{ N/mm}^2$, $f_{yk} = 450 \text{ N/mm}^2$. Bruchdehnung ($l_0 = 5d$) > 12% duktil.
Scheibe	Nichtrostender Stahl EN 10088-1.
Mutter	Festigkeit der Mutter abgestimmt auf Festigkeit der Gewindestange. Nichtrostender Stahl EN 10088-1.
Stahlteile aus hochkorrosionsbeständigem Stahl Korrosionsbeständigkeitsklasse (CRC) V gemäß EN 1993-1-4	
HAS-U HCR	Festigkeitsklasse 80, $f_{uk} = 800 \text{ N/mm}^2$, $f_{yk} = 640 \text{ N/mm}^2$. Bruchdehnung ($l_0 = 5d$) > 8% duktil.
Scheibe	Hochkorrosionsbeständiger Stahl EN 10088-1.
Mutter	Festigkeit der Mutter abgestimmt auf Festigkeit der Gewindestange Hochkorrosionsbeständiger Stahl EN 10088-1.
Plastikteile	
Siebhülse HIT-SC	Rahmen: FPP 20T Netz: PA6.6 N500/200

Hilti HIT-HY 270 mit HAS und HAS-U

Produktbeschreibung
Werkstoffe

Anhang A4

Spezifizierung des Verwendungszwecks

Verankerungsgrund:

- Vollsteinmauerwerk (Nutzungskategorie b), entsprechend Anlage B3.
Bemerkung: Die charakteristischen Widerstände gelten ebenfalls für größere Steinabmessungen und höhere Steindruckfestigkeiten.
- Lochsteinmauerwerk (Nutzungskategorie c), entsprechend Anlage B3, B5 und B6.
- Festigkeitsklasse des Mauermörtels: M2,5 Minimum entsprechend EN 998-2.
- Für Mauerwerk aus anderen Vollsteinen oder Lochsteinen darf der charakteristische Widerstand mittels Baustellenversuchen ermittelt werden. Dies geschieht gemäß TR 053:2022-07, unter Berücksichtigung des im Anhang C1, Tabelle C1 genannten β -Faktors.

Tabelle B1: Übersicht der Nutzungskategorien

Befestigungen unter:		HIT-HY 270 mit HAS und HAS-U	
		in Vollstein	in Lochstein
Bohren 		Hammerbohren, Drehbohren	Drehbohren
Statische und quasi statische Belastung		Anhang : C1 (Stahl), C3 bis C20	Anhang : C1 (Stahl), C21 bis C30
Nutzungskategorie: trockenes oder feuchtes Mauerwerk		Kategorie d/d – Montage und Verwendung in Bauteilen unter den Bedingungen trockener Innenräume. Kategorie w/d – Montage unter trockenen oder feuchten Bedingungen und Verwendung unter den Bedingungen trockener Innenräume (ausgenommen Kalksandsteine). Kategorie w/w – Montage und Verwendung in Bauteilen unter trockenen oder feuchten Bedingungen (ausgenommen Kalksandsteine).	
Montagerichtung Mauerwerk		Horizontal	
Montagerichtung Deckenziegel		Überkopf	
Nutzungskategorie		b (Mauerwerk aus Vollstein)	c (Mauerwerk aus Lochstein)
Temperatur im Verankerungs- grund beim Einbau		+5° C bis +40° C (Tabelle B9)	0° C bis +40° C (Tabelle B10)
Gebrauchs- temperatur	Temperatur- bereich Ta:	-40 °C bis +40 °C	(max. Langzeittemperatur +24 °C und max. Kurzzeittemperatur +40 °C)
	Temperatur- bereich Tb:	-40 °C bis +80 °C	(max. Langzeittemperatur +50 °C und max. Kurzzeittemperatur +80 °C)

Hilti HIT-HY 270 mit HAS und HAS-U

Verwendungszweck
Spezifikationen

Anhang B1

Anwendungsbedingungen (Umweltbedingungen):

- In Bauteilen unter den Bedingungen trockener Innenräume (verzinkter Stahl, nichtrostender Stahl oder hochkorrosionsbeständiger Stahl).
- Für alle anderen Bedingungen gemäß EN 1993-1-4 entsprechend der Korrosionsbeständigkeitsklasse nach Anhang A4, Tabelle A1.

Bemessung:

- Die Befestigungen müssen unter der Verantwortung eines auf dem Gebiet der Verankerungen und des Mauerwerksbaus erfahrenen Ingenieurs bemessen werden.
- Unter Berücksichtigung der zu verankernden Lasten sind prüfbare Berechnungen und Konstruktionszeichnungen anzufertigen. Auf den Konstruktionszeichnungen ist die Lage des Dübels (z. B. Lage des Dübels zu den Auflagern usw.) anzugeben.
- Die Bemessung der Verankerungen unter statischer und quasi statischer Belastung erfolgt in Übereinstimmung mit: TR 054:2022-07, Bemessungsverfahren A. Gültig für alle Steine, falls keine anderen Werte spezifiziert sind:

$$N_{RK} = N_{RK,b} = N_{RK,p} = N_{RK,b,c} = N_{RK,p,c}$$

$$V_{RK} = V_{RK,b} = V_{RK,c,II} = V_{RK,c,\perp}$$

Für die Berechnung für das Herausziehen eines Steines unter Zuglast $N_{RK,pb}$ oder das Herausdrücken eines Steines unter Querlast $V_{RK,pb}$ siehe EOTA Technical Report TR 054:2022-07. $N_{RK,s}$, $V_{RK,s}$ und $M^0_{RK,s}$ siehe Anhang C1

Faktoren für Baustellenversuche und Verschiebungen siehe Anhang C1 – C30

- Im Falle, dass die Steindruckfestigkeit f_b kleiner ist als die höchste, in den Lasttabellen genannte Druckfestigkeit, kann die Last gemäß folgender Formel berechnet werden:

$$F_{RK,act} = F_{RK,ETA,(fb)} * (f_{b,act}/f_{b,ETA})^\alpha$$

$F_{RK,act}$ = Tragfähigkeit des Dübels im vorhandenen Mauerwerk.

$F_{RK,ETA,(fb)}$ = Tragfähigkeit des Dübels im Mauerwerk gemäß Anhang C3 bis C30.

$f_{b,act}$ = Vorhandene, normalisierte mittlere Druckfestigkeitsklasse gemäß EN 772-1.

$f_{b,ETA}$ = Normalisierte mittlere Druckfestigkeitsklasse gemäß Anhang C3 bis C30.

α = 0,5 für Mauerwerk aus Ziegel, Beton und Kalksandvollsteinen.

α = 0,75 für Mauerwerk aus Kalksandlochsteinen.

- Für Lochsteinmauerwerk: Querlasten zum freien Rand müssen über vollvermörtelte Stoßfugen oder direkten Kontakt der Steine übertragen werden.
- Für Lochsteinmauerwerk sind nur Querlasten ohne Hebelarm erlaubt.

Einbau:

- Der Einbau erfolgt durch entsprechend geschultes Personal unter der Aufsicht des Bauleiters.

Hilti HIT-HY 270 mit HAS und HAS-U

Verwendungszweck
Spezifikationen

Anhang B2

Tabelle B2: Übersicht der Mauersteine und Eigenschaften

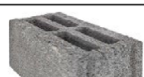
Art des Mauersteins	Foto	Stein- abmessungen [mm]	Druck- festigkeit $f_{b,ETA}$ [N/mm ²]	Roh- dichte [kg/dm ³]	Anhang
Vollziegel EN 771-1		≥ 240x115x52	12/20/40	2,0	C3/C4
Vollziegel EN 771-1		≥ 240x115x72	10/20	2,0	C5/C7
Vollziegel EN 771-1		≥ 240x115x113	12/20	2,0	C8/C10
Kalksandvollstein EN 771-2		≥ 240x115x113	12 / 28	2,0	C11/C12
Kalksandvollstein EN 771-2		≥ 248x240x248	12/20/28	2,0	C13/C16
Leichtbetonvollstein EN 771-3		≥ 240x115x113	4 / 6	0,9	C17/C18
Normalbetonvollstein EN 771-3		≥ 240x115x113	6 / 16	2,0	C19/C20
Lochziegel EN 771-1		300x240x238	12 / 20	1,4	C21/C22
Kalksandlochstein EN 771-2		248x240x248	12 / 20	1,4	C23/C24
Leichtbeton Hohlblockstein EN 771-3		495x240x238	2 / 6	0,7	C25/C27
Normalbeton Lochstein EN 771-3		500x200x200	4 / 10	0,9	C28/C29
Lochziegel EN 771-1 Deckenstein		250x510x180	EN 15037-3 Klasse R2	1,0	C30

Hilti HIT-HY 270 mit HAS und HAS-U

Verwendungszweck
Steintypen und Eigenschaften

Anhang B3

Tabelle B3: Übersicht Befestigungselemente (inkl. Größen und Verankerungstiefen) und zugehörige Mauersteine

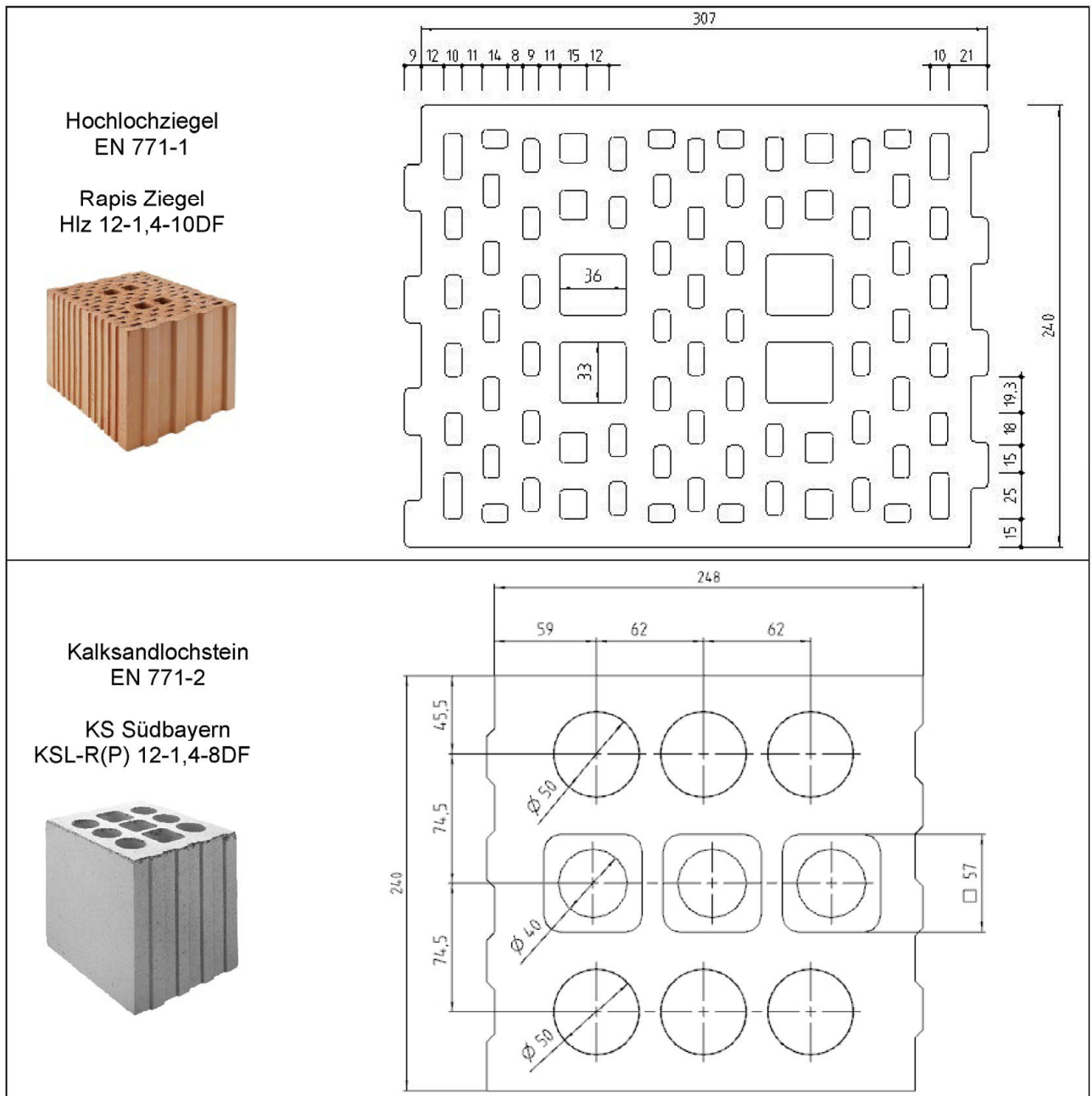
Art des Mauersteins	Foto	HAS/HAS-U 	HAS/HAS-U + HIT-SC 	Anhang
Vollziegel EN 771-1		M8 bis M16 $h_{ef} = 50$ mm bis 300 mm	M8 bis M16 $h_{ef} = 80$ mm bis 160 mm	C3/C4
Vollziegel EN 771-1		M8 bis M16 $h_{ef} = 50$ mm bis 300 mm	M8 bis M16 $h_{ef} = 80$ mm bis 160 mm	C5/C7
Vollziegel EN 771-1		M8 bis M16 $h_{ef} = 50$ mm bis 300 mm	M8 bis M16 $h_{ef} = 80$ mm bis 160 mm	C8/C10
Kalksand-vollstein EN 771-2		M8 bis M16 $h_{ef} = 50$ mm bis 300 mm	M8 bis M16 $h_{ef} = 80$ mm bis 160 mm	C11/C12
Kalksand-vollstein EN 771-2		M8 bis M16 $h_{ef} = 50$ mm bis 300 mm	M8 bis M16 $h_{ef} = 80$ mm bis 160 mm	C13/C16
Leichtbeton-vollstein EN 771-3		M8 bis M16 $h_{ef} = 50$ mm bis 300 mm	M8 bis M16 $h_{ef} = 80$ mm bis 160 mm	C17/C18
Normalbeton-vollstein EN 771-3		M8 bis M16 $h_{ef} = 50$ mm bis 300 mm	M8 bis M16 $h_{ef} = 80$ mm bis 160 mm	C19/C20
Lochziegel EN 771-1		-	M8 bis M16 $h_{ef} = 80$ mm bis 160 mm	C21/C22
Kalksand-lochstein EN 771-2		-	M8 bis M16 $h_{ef} = 80$ mm bis 160 mm	C23/C24
Leichtbeton Hohlblockstein EN 771-3		-	M8 bis M16 $h_{ef} = 80$ mm bis 160 mm	C25/C27
Normalbeton Lochstein EN 771-3		-	M8 bis M16 $h_{ef} = 50$ mm bis 160 mm	C28/C29
Lochziegel EN 771-1 Deckenstein		-	M6 $h_{ef} = 80$ mm	C30

Hilti HIT-HY 270 mit HAS und HAS-U

Verwendungszweck
Befestigungselemente und entsprechende Steintypen

Anhang B4

Tabelle B4: Details der Lochsteine

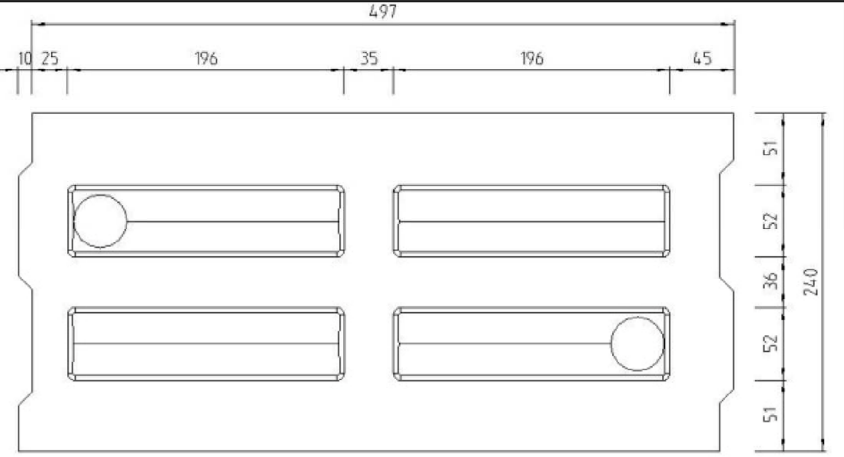
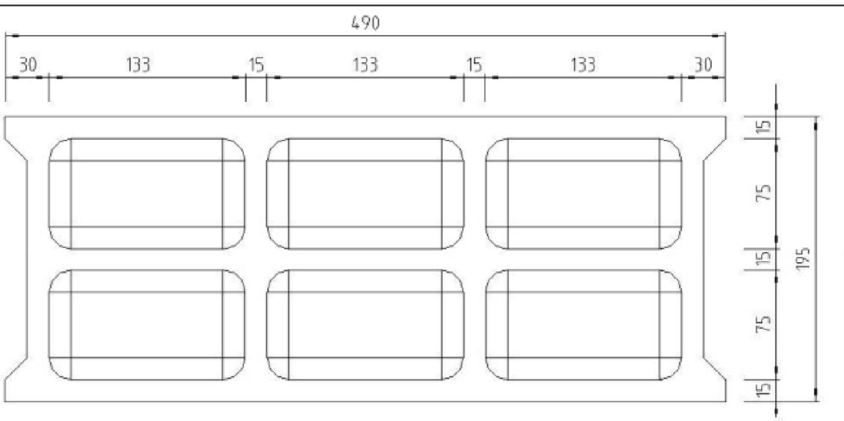
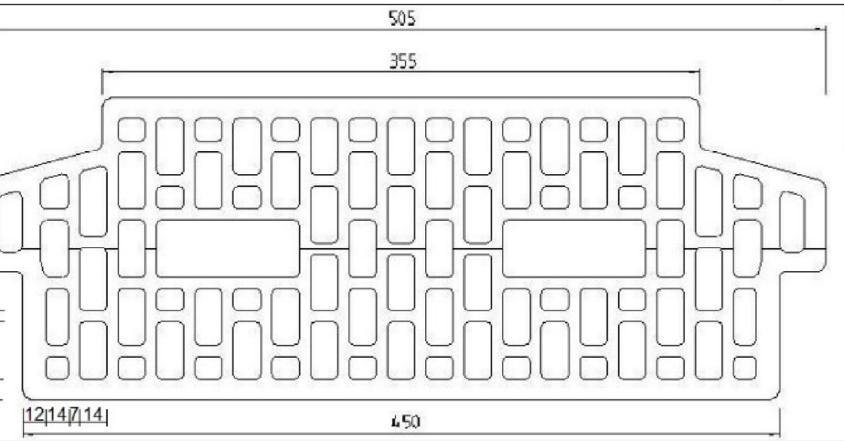


Hilti HIT-HY 270 mit HAS und HAS-U

Verwendungszweck
Details der Lochsteine

Anhang B5

Tabelle B4 fortgesetzt

<p>Leichtbeton Hohlblockstein EN 771-3</p> <p>Knobel Betonwerk Hbl 6-0,8-500x240x238</p> 	
<p>Normalbeton Hohlblockstein EN 771-3</p> <p>Parpaing creux B40</p> 	
<p>Hochlochziegel EN 771-1</p> <p>Deckenziegel Fiedler Ziegeldecke Typ 18+0 oder 18+3</p> 	

Hilti HIT-HY 270 mit HAS und HAS-U

Verwendungszweck
Details der Lochsteine.

Anhang B6

Tabelle B5: Montagekennwerte HAS... und HAS-U ... mit einer Siebhülse HIT-SC für Lochstein und Vollstein (Bild A1)

HAS... und HAS-U ...		M6	M8		M10		M12		M16	
mit HIT-SC		12x85	16x50	16x85	16x50	16x85	18x50	18x85	22x50	22x85
Bohrerinnendurchmesser	d ₀ [mm]	12	16	16	16	16	18	18	22	22
Bohrlochtiefe	h ₀ [mm]	95	60	95	60	95	60	95	60	95
Effektive Verankerungstiefe	h _{ef} [mm]	80	50	80	50	80	50	80	50	80
Maximaler Durchmesser des Durchgangslochs im Anbauteil	d _f [mm]	7	9	9	12	12	14	14	18	18
Minimale Wanddicke	h _{min} [mm]	115	80	115	80	115	80	115	80	115
Bürste HIT-RB	- [-]	12	16	16	16	16	18	18	22	22
Anzahl Hübe HDM	- [-]	5	4	6	4	6	4	8	6	10
Anzahl Hübe HDE 500-A	- [-]	4	3	5	3	5	3	6	5	8
Maximales Anzugsdrehmoment für alle Steine ausser "Parpaing creux"	T _{max} [Nm]	0	3	3	4	4	6	6	8	8
Maximales Anzugsdrehmoment für "Parpaing creux"	T _{max} [Nm]	-	2	2	2	2	3	3	6	6

Tabelle B6: Montagekennwerte HAS... und HAS-U ... mit zwei Siebhülsen HIT-SC für Lochstein und Vollstein für größere Verankerungstiefen (Bild A2)

HAS... und HAS-U ...		M8		M10	
mit HIT-SC		16x50+16x85	16x85+16x85	16x50+16x85	16x85+16x85
Bohrerinnendurchmesser	d ₀ [mm]	16		16	
Bohrlochtiefe	h ₀ [mm]	145		180	
Effektive Verankerungstiefe	h _{ef} [mm]	130		160	
Maximaler Durchmesser des Durchgangslochs im Anbauteil	d _f [mm]	9		12	
Minimale Wanddicke	h _{min} [mm]	195		230	
Bürste HIT-RB	- [-]	16		16	
Anzahl Hübe HDM	- [-]	4+6		6+6	
Anzahl Hübe HDE 500-A	- [-]	3+5		5+5	
Maximales Anzugsdrehmoment	T _{max} [Nm]	3		4	

Tabelle B6: Fortsetzung

HAS... und HAS-U...		M12		M16	
mit HIT-SC		18x50+18x85	18x85+18x85	22x50+22x85	22x85+22x85
Bohrerinnendurchmesser	d ₀ [mm]	18		22	
Bohrlochtiefe	h ₀ [mm]	145		180	
Effektive Verankerungstiefe	h _{ef} [mm]	130		160	
Maximaler Durchmesser des Durchgangslochs im Anbauteil	d _f [mm]	14		18	
Minimale Wanddicke	h _{min} [mm]	195		230	
Bürste HIT-RB	- [-]	18		22	
Anzahl Hübe HDM	- [-]	4+8		8+8	
Anzahl Hübe HDE 500-A	- [-]	3+6		6+6	
Maximales Anzugsdrehmoment	T _{max} [Nm]	6		8	

Hilti HIT-HY 270 mit HAS und HAS-U

Verwendungszweck
Montagekennwerte

Anhang B7

Tabelle B7: Montagekennwerte HAS... und HAS-U... in Vollstein (Bild A3)

HAS... und HAS-U...			M8	M10	M12	M16
Bohrerinnendurchmesser	d_0	[mm]	10	12	14	18
Bohrlochtiefe = Effektive Verankerungstiefe	h_0 = h_{ef}	[mm]	50...300	50...300	50...300	50...300
Maximaler Durchmesser des Durchgangslochs im Anbauteil	d_f	[mm]	9	12	14	18
Minimale Wanddicke	h_{min}	[mm]	h_0+30	h_0+30	h_0+30	h_0+36
Bürste HIT-RB	-	[-]	10	12	14	18
Maximales Anzugsdrehmoment	T_{max}	[Nm]	5	8	10	10

Hilti HIT-HY 270 mit HAS und HAS-U

Verwendungszweck
Montagekennwerte

Anhang B8

Tabelle B8: Montagekennwerte HAS... und HAS-U... mit zwei Siebhülsen HIT-SC für die Montage durch das Anbauteil und/oder durch eine nichttragende Schicht für Lochstein und Vollstein (Bild A4)

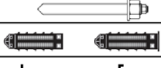
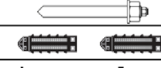
HAS... und HAS-U... mit HIT-SC				M8		M10	
				16x50+16x85	16x85+16x85	16x50+16x85	16x85+16x85
Bohrerennendurchmesser	d ₀	[mm]		16	16	16	16
Bohrlochtiefe	h ₀	[mm]		145	180	145	180
Min. effektive Verankerungstiefe	h _{ef,min}	[mm]		80	80	80	80
Max. Dicke der nichttragenden Schicht und Anbauteildicke (Durchsteckmontage)	h _{p,max}	[mm]		50	80	50	80
Max. Durchmesser des Durchgangslochs im Anbauteil (Vorsteckmontage)	d _{f1}	[mm]		9	9	12	12
Max. Durchmesser des Durchgangslochs im Anbauteil (Durchsteckmontage)	d _{f2}	[mm]		17	17	17	17
Minimale Wanddicke	h _{min}	[mm]		h _{ef} +65	h _{ef} +70	h _{ef} +65	h _{ef} +70
Bürste HIT-RB	-	[-]		16	16	16	16
Anzahl Hübe HDM	-	[-]		4+6	6+6	4+6	6+6
Anzahl Hübe HDE 500-A	-	[-]		3+5	5+5	3+5	5+5
Maximales Anzugsdrehmoment für alle Steine außer "parpaing creux"	T _{max}	[Nm]		3	3	4	4
Maximales Anzugsdrehmoment für "parpaing creux"	T _{max}	[Nm]		2	2	2	2

Tabelle B8 fortgesetzt

HAS... und HAS-U... mit HIT-SC				M12		M16	
				18x50+18x85	18x85+18x85	22x50+22x85	22x85+22x85
Bohrerennendurchmesser	d ₀	[mm]		18	18	22	22
Bohrlochtiefe	h ₀	[mm]		145	180	145	180
Min. effektive Verankerungstiefe	h _{ef,min}	[mm]		80	80	80	80
Max. Dicke der nichttragenden Schicht und Anbauteildicke (Durchsteckmontage)	h _{p,max}	[mm]		50	80	50	80
Max. Durchmesser des Durchgangslochs im Anbauteil (Vorsteckmontage)	d _{f1}	[mm]		14	14	18	18
Max. Durchmesser des Durchgangslochs im Anbauteil (Durchsteckmontage)	d _{f2}	[mm]		19	19	23	23
Minimale Wanddicke	h _{min}	[mm]		h _{ef} +65	h _{ef} +70	h _{ef} +65	h _{ef} +70
Bürste HIT-RB	-	[-]		18	18	22	22
Anzahl Hübe HDM	-	[-]		4+8	8+8	6+10	10+10
Anzahl Hübe HDE 500-A	-	[-]		5+8	8+8	5+8	8+8
Maximales Anzugsdrehmoment für alle Steine außer "parpaing creux"	T _{max}	[Nm]		6	6	8	8
Maximales Anzugsdrehmoment für "parpaing creux"	T _{max}	[Nm]		3	3	6	6

Hilti HIT-HY 270 mit HAS und HAS-U

Verwendungszweck
Montagekennwerte

Anhang B9

Tabelle B9: Maximale Verarbeitungszeit und minimale Aushärtezeit für Vollsteine ¹⁾

Temperatur im Verankerungsgrund T	Maximale Verarbeitungszeit t_{work}	Minimale Aushärtezeit t_{cure}
5 °C bis 10 °C	10 min	2,5 h
> 10 °C bis 20 °C	7 min	1,5 h
> 20 °C bis 30 °C	4 min	30 min
> 30 °C bis 40 °C	1 min	20 min

¹⁾ Die Aushärtezeiten gelten nur für trockenen Verankerungsgrund.
In feuchtem Verankerungsgrund müssen die Aushärtezeiten verdoppelt werden.

Tabelle B10: Maximale Verarbeitungszeit und minimale Aushärtezeit¹⁾ für Lochsteine

Temperatur im Verankerungsgrund T	Maximale Verarbeitungszeit t_{work}	Minimale Aushärtezeit t_{cure}
0 °C bis 5 °C	10 min	4 h
> 5 °C bis 10 °C	10 min	2,5 h
> 10 °C bis 20 °C	7 min	1,5 h
> 20 °C bis 30 °C	4 min	30 min
> 30 °C bis 40 °C	1 min	20 min

¹⁾ Die Aushärtezeiten gelten nur für trockenen Verankerungsgrund.
In feuchtem Verankerungsgrund müssen die Aushärtezeiten verdoppelt werden.

Tabelle B11: Reinigungsalternativen

Handreinigung (MC):

zum Ausblasen von Bohrlöchern bis zu einem Durchmesser von $d_0 \leq 18$ mm und einer Bohrlochtiefe von $h_0 = 100$ mm wird die Hilti-Handausblaspumpe empfohlen.



Druckluftreinigung (CAC):

zum Ausblasen von Bohrlöchern bis zu einer Bohrlochtiefe von $h_0 = 300$ mm wird eine Ausblasdüse mit einem Durchmesser von mindestens 3,5 mm empfohlen.



Stahlbürste HIT-RB:

gemäß Tabelle B5 bis B8 in Abhängigkeit vom Bohrlochdurchmesser für MC und CAC



Hilti HIT-HY 270 mit HAS und HAS-U

Verwendungszweck
Montagekennwerte
Reinigungswerkzeuge

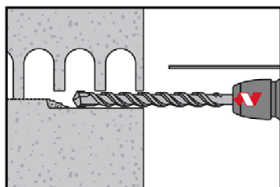
Anhang B10

Montageanweisung

Bohrlocherstellung

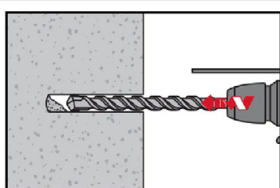
Wenn beim Bohren über die gesamte Bohrlochtiefe (z.B. in nicht verfüllten Stoßfugen) kein nennenswerter Bohrwiderstand spürbar ist, so ist diese Setzposition zu verwerfen.

Bohrverfahren



Im Hohlstein und Vollstein (Nutzungskategorie c): Drehbohren

Bohrloch mit Bohrhammer im Drehmodus, unter Verwendung des passenden Bohrerdurchmessers, auf die richtige Bohrtiefe erstellen.



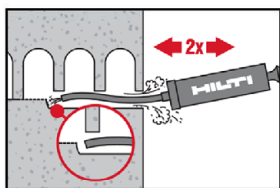
Im Vollstein (Nutzungskategorie b): Hammerbohren

Bohrloch mit Bohrhammer drehschlagend, unter Verwendung des passenden Bohrerdurchmessers, auf die richtige Bohrtiefe erstellen.

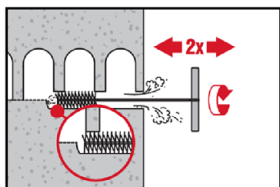
Bohrlochreinigung

Unmittelbar vor dem Setzen des Dübels muss das Bohrloch frei von Bohrmehl und Verunreinigungen sein. Schlechte Bohrlochreinigung = geringe Traglasten.

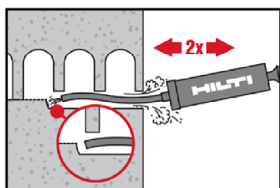
Handreinigung (MC): Für Lochsteine und Vollsteine



Für Bohrerlochdurchmesser $d_0 \leq 18$ mm und Bohrlochtiefen bis $h_0 = 100$ mm kann die Hilti Handausblaspumpe verwendet werden. Bohrloch mindestens 4-mal mit der Hilti Ausblaspumpe vom Bohrlochgrund ausblasen, bis die rückströmende Luft staubfrei ist.



2-mal mit Stahlbürste in passender Größe (siehe Tabelle B5 bis B8) bürsten. Stahlbürste Hilti HIT-RB mit einer Drehbewegung in das Bohrloch bis zum Bohrlochgrund einführen und wieder herausziehen (falls notwendig mit Verlängerung). Die Bürste muss beim Einführen einen Widerstand erzeugen (Bürste $\varnothing \geq$ Bohrloch \varnothing) – falls nicht, ist die Bürste zu klein und muss durch eine geeignete Bürste ersetzt werden.



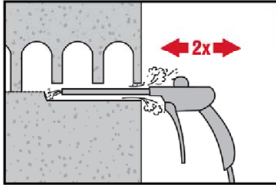
Bohrloch erneut mit der Hilti Handausblaspumpe vom Bohrlochgrund mindestens 4-mal ausblasen, bis die rückströmende Luft staubfrei ist.

Hilti HIT-HY 270 mit HAS und HAS-U

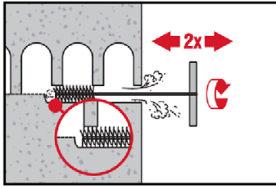
Verwendungszweck
Montageanweisung

Anhang B11

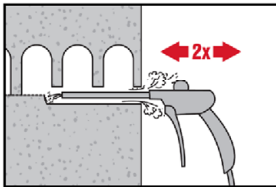
Handreinigung (CAC): Für Lochsteine und Vollsteine



Bohrloch 2-mal vom Bohrlochgrund über die gesamte Länge mit ölfreier Druckluft (min. 6 bar bei 6 m³/h; Bohrlochtiefe bis h₀ = 300 mm) ausblasen, bis die rückströmende Luft staubfrei ist. Falls notwendig Verlängerung verwenden.

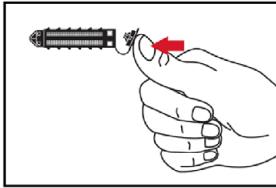


2-mal mit Stahlbürste in passender Größe (siehe Tabelle B5 bis B8) bürsten. Stahlbürste Hilti HIT-RB mit einer Drehbewegung in das Bohrloch bis zum Bohrlochgrund einführen und wieder herausziehen (falls notwendig mit Verlängerung). Die Bürste muss beim Einführen einen Widerstand erzeugen (Bürste Ø ≥ Bohrloch Ø) – falls nicht, ist die Bürste zu klein und muss durch eine geeignete Bürste ersetzt werden.

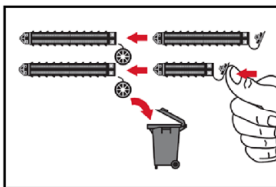


Bohrloch erneut mit der Hilti Handpumpe oder Druckluft 2-mal ausblasen, bis die rückströmende Luft staubfrei ist.

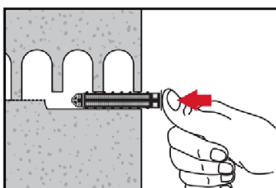
Injektionsvorbereitung bei Mauerwerk mit Lochanteil und Hohlräumen: Montage mit Siebhülse HIT-SC



Einzelsiebhülse HIT-SC
Kappe aufstecken



Zwei Siebhülsen HIT-SC
Siebhülsen zusammenstecken und überflüssige Kappe entsorgen. Beachten, dass im Falle von unterschiedlichen Siebhülsenlängen die kurze Siebhülse in die lange Siebhülse gesteckt wird.



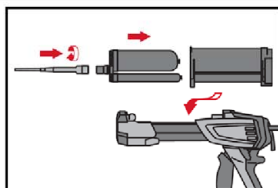
Siebhülse manuell einschieben.
Bei der Verwendung von zwei Siebhülsen muss die Längere zuerst eingeschoben werden.

Hilti HIT-HY 270 mit HAS und HAS-U

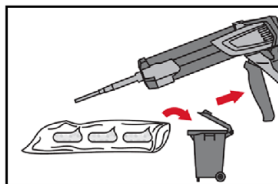
Verwendungszweck
Montageanweisung

Anhang B12

Für alle Anwendungen



Statikmischer HIT-RE-M fest auf Foliengebinde aufschrauben. Den Mischer unter keinen Umständen verändern.
Bedienungsanleitung des Auspressgerätes und des Mörtels befolgen.
Prüfen der Kassette und des Foliengebindes auf einwandfreie Funktion.
Kein beschädigtes Gebinde / Kassette verwenden.
Foliengebinde in die Kassette einführen und Kassette in Auspressgerät einsetzen.

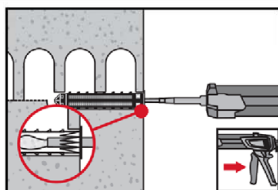


Das Öffnen der Foliengebinde erfolgt automatisch bei Auspressbeginn. Der am Anfang aus dem Mischer austretende Mörtelvorlauf darf nicht für Befestigungen verwendet werden. Die Menge des Mörtelvorlaufes ist abhängig von der Gebindegröße:

2 Hübe bei 330 ml Foliengebinde,
3 Hübe bei 500 ml Foliengebinde.

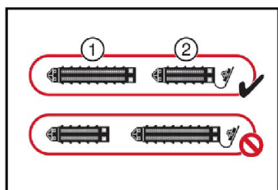
Injektion des Mörtels ohne Luftblasen zu bilden

Montage mit Siebhülse HIT-SC



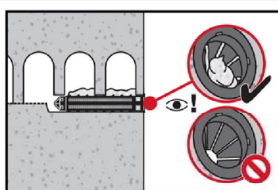
Einzelsiebhülse HIT-SC

Den Mischer ca. 1 cm in die Kappe einschieben. Die gemäß Tabelle B5 bis B8 angegebene Mörtelmenge injizieren. Mörtel muss aus der Kappe austreten.



Zwei Siebhülsen HIT-SC

Mischerverlängerung bei der Montage von zwei Siebhülsen verwenden.
Den Mischer ca. 1 cm durch die Spitze der Siebhülse "2" einschieben. Die gemäß Tabelle B5 bis B8 angegebene Mörtelmenge in die Siebhülse "1" injizieren.
Mischer zurückziehen, bis er 1 cm in der Kappe der Siebhülse "2" steckt und Mörtel, wie vorher beschrieben, in die Siebhülse "2" injizieren.



Kontrolle der injizierten Mörtelmenge. Der Mörtel muss aus der Kappe ausgetreten sein.

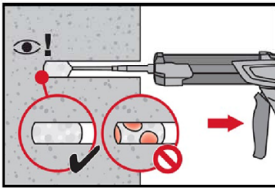
Nach der Mörtelinjektion die Entriegelungstaste am Auspressgerät betätigen, um Mörtelnachlauf zu vermeiden.

Hilti HIT-HY 270 mit HAS und HAS-U

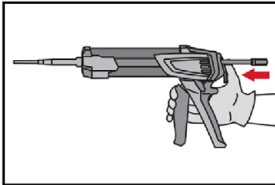
Verwendungszweck
Montageanweisung

Anhang B13

Vollsteine: Montage ohne Siebhülse



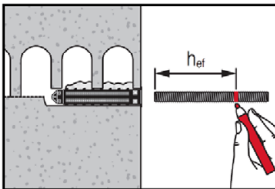
Injizieren des Mörtels vom Bohrlochgrund und während jedes Hubes den Mischer zurückziehen.
Das Bohrloch zu ca. 2/3 verfüllen. Nach dem Einsetzen des Befestigungselementes muss der Ringspalt zwischen Dübel und Untergrund, über die gesamte Verankerungstiefe, vollständig mit Mörtel ausgefüllt sein.



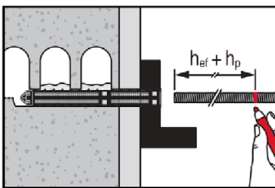
Nach der Mörtelinjektion die Entriegelungstaste am Auspressgerät betätigen, um Mörtelnachlauf zu vermeiden.

Setzen des Befestigungselementes:

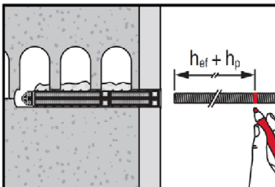
Vor der Montage sicherstellen, dass das Element trocken und frei von Öl und anderen Verunreinigungen ist.



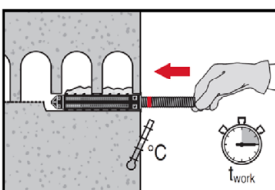
**HAS... und HAS-U... in Lochstein und Vollstein:
Vorsteckmontage (Bild A1 bis Fehler! Verweisquelle konnte nicht gefunden werden.)**
Befestigungselement markieren und bis zur gewünschten Verankerungstiefe h_{ef} gemäß Tabelle B5 bis B7 einführen.



**HAS... und HAS-U... in Lochstein und Vollstein:
Montage durch das Anbauteil (Bild A4a)
oder durch die nichttragende Schicht und das Anbauteil (Bild A4b)**
Befestigungselement markieren und bis zur gewünschten Verankerungstiefe $h_{ef} + h_p$ gemäß Tabelle B8 einführen.

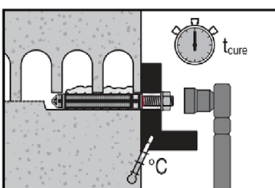


**HAS... und HAS-U... in Lochstein und Vollstein:
Montage durch die nichttragende Schicht (Bild A4c)**
Befestigungselement markieren und bis zur gewünschten Verankerungstiefe $h_{ef} + h_p$ gemäß Tabelle B8 einführen.



Befestigungselement noch bevor die Verarbeitungszeit t_{work} abgelaufen ist setzen. Verarbeitungszeit t_{work} siehe Tabelle B9 und Tabelle B10.

Belasten des Dübels



Nach Ablauf der Aushärtezeit t_{cure} (siehe Tabelle B9 und Tabelle B10) kann der Dübel belastet werden.
Das aufzubringende Drehmoment darf die angegebenen Werte T_{max} gemäß Tabelle B5 bis B8 nicht überschreiten.

Hilti HIT-HY 270 mit HAS und HAS-U

Verwendungszweck
Montageanweisung

Anhang B14

Tabelle C1: β -Faktor für Baustellenversuche unter Zugbelastung

Nutzungskategorien		w/w und w/d		d/d	
Temperatur Bereich		Ta*	Tb*	Ta*	Tb*
Base material	Cleaning				
Vollziegel EN 771-1	CAC	0,96	0,96	0,96	0,96
	MC	0,84	0,84	0,84	0,84
Kalksandvollstein EN 771-2	CAC/MC	- ¹⁾	- ¹⁾	0,96	0,80
Leichtbetonvollstein EN 771-3	CAC	0,82	0,68	0,96	0,80
	MC	0,81	0,67	0,90	0,75
Normalbetonvollstein EN 771-3	CAC/MC	0,96	0,80	0,96	0,80
Lochziegel EN 771-1	CAC	0,96	0,96	0,96	0,96
	MC	0,84	0,84	0,84	0,84
Kalksandlochstein EN 771-2	CAC/MC	- ¹⁾	- ¹⁾	0,96	0,80
Leichtbeton Hohlblockstein EN 771-3	CAC	0,69	0,57	0,81	0,67
	MC	0,68	0,56	0,76	0,63
Normalbeton Lochstein EN 771-3	CAC/MC	0,96	0,80	0,96	0,80

* Temperaturbereich Ta / Tb siehe Anlage B1

¹⁾ Leistung nicht bewertet

Tabelle C2: Charakteristischer Widerstand für Stahlversagen für HAS... und HAS-U... unter Zug- und Querbeanspruchung in Mauerwerk

Stahlversagen Zuglast			M6	M8	M10	M12	M16
Charakteristische Stahltragfähigkeit	$N_{Rk,s}$	[kN]	$A_s \cdot f_{uk}$				
Stahlversagen Querlast ohne Hebelarm							
Charakteristische Stahlwiderstand Festigkeitsklasse 5.8	$V_{Rk,s}$	[kN]	$0,6 \cdot A_s \cdot f_{uk}$				
Charakteristische Stahlwiderstand Festigkeitsklasse 8.8, 70 und 80	$V_{Rk,s}$	[kN]	$0,5 \cdot A_s \cdot f_{uk}$				
Stahlversagen Querlast mit Hebelarm							
Charakteristisches Biegemoment	$M^0_{Rk,s}$	[Nm]	$1,2 \cdot W_{el} \cdot f_{uk}$				

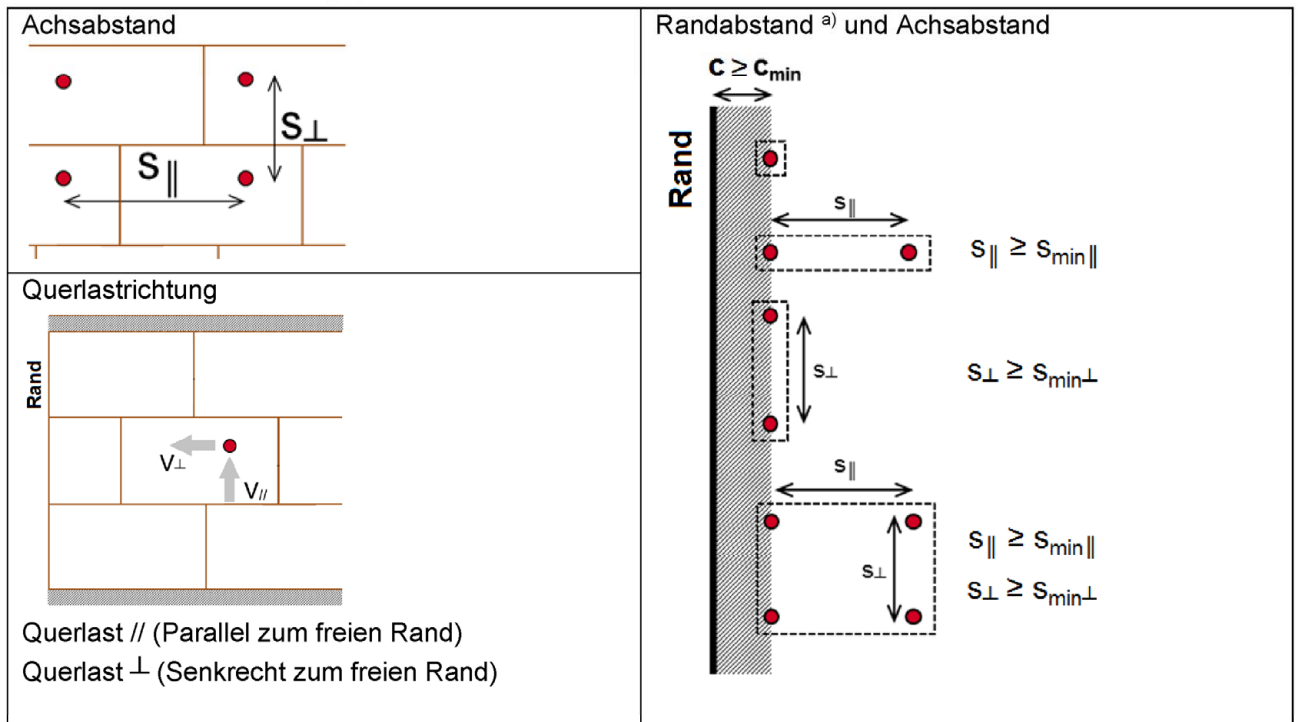
Hilti HIT-HY 270 mit HAS und HAS-U

Leistung

β -Faktor für Baustellenversuche unter Zugbelastung
Charakteristische Werte unter Zuglast und Querlast - Stahlversagen

Anhang C1

Achsabstand in Abhängigkeit vom Randabstand für alle Dübelkombinationen:



^{a)} Eine nicht vermörtelte Stossfuge wird als Rand betrachtet und es gilt $c \geq c_{min}$.

Die charakteristischen Widerstände einer Dübelgruppe werden unter Verwendung von Gruppenfaktoren α_g gemäß Anhang C3 bis C30, berechnet

Gruppe mit zwei Dübeln: $N_{RK}^g = \alpha_{g,N} \cdot N_{RK}$ und $V_{RK,b}^g = V_{RK,c,||}^g = V_{RK,c,\perp}^g = \alpha_{g,V} \cdot V_{RK}$ (mit den relevanten α_g)

Gruppe mit vier Dübeln: $N_{RK}^g = \alpha_{g,N||} \cdot \alpha_{g,N\perp} \cdot N_{RK}$ und

$V_{RK,b}^g = V_{RK,c,||}^g = V_{RK,c,\perp}^g = \alpha_{g,V||} \cdot \alpha_{g,V\perp} \cdot V_{RK}$

In den nachfolgenden Tabellen sind die Widerstände für Einzelanker in Bezug auf $c \geq c_{min}$ bzw. $c \geq c_{cr}$ angegeben.

Die Gruppenfaktoren $\alpha_g < 2,0$ in den nachfolgenden Tabellen beziehen sich auf $c \geq c_{min}$ und $s \geq s_{min}$. Der Gruppenfaktor $\alpha_g = 2,0$ gilt für $c \geq c_{min}$ und $s \geq s_{scr}$.

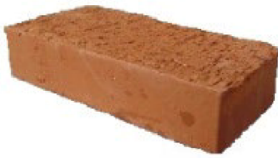
Hilti HIT-HY 270 mit HAS und HAS-U

Leistung
Dübel Achsabstand

Anhang C2

Art des Mauersteins: Vollziegel Mz, 1DF

Tabelle C3: Beschreibung des Mauersteins

Steintyp		Solid Mz, 1DF	
Rohdichte	ρ [kg/dm ³]	≥ 2,0	
Druckfestigkeit	f_b [N/mm ²]	≥ 12 / 20 / 40	
Norm		EN 771 - 1	
Hersteller			
Steinabmessungen	[mm]	≥ 240 x 115 x 52	
Minimale Wanddicke	h_{min} [mm]	≥ 115	

Charakteristische Werte der Tragfähigkeit für alle Dübelkombinationen (siehe Tabelle B3)

Tabelle C4: Charakteristischer Widerstand gegen Herausziehen eines Einzelankers oder Ausbruch des Mauersteins unter Zugbeanspruchung bei Randabstand $c \geq 115$ mm

Nutzungskategorie			w/w = w/d		d/d	
Gebrauchstemperaturbereich			Ta	Tb	Ta	Tb
Dübeltyp und -größe	h_{ef} [mm]	f_b [N/mm ²]	$N_{Rk} = N_{Rk,p} = N_{Rk,b} = N_{Rk,p,c} = N_{Rk,b,c}$ [kN]			
Alle Dübel	≥ 50	12	1,5 (2,0*)			
		20	2,0 (2,5*)			
		40	3,5 (4,0*)			
	≥ 80	12	2,5 (3,0*)			
		20	3,5 (4,0*)			
		40	5,5 (6,5*)			
	≥ 100	12	3,5 (4,0*)			
		20	4,5 (5,0*)			
		40	7,0 (8,0*)			

* nur CAC Reinigung

Zugehörige Achs- und Randabstände und Gruppenfaktoren α_g

Anordnung	$c \geq$ [mm]	$s_{\perp} \geq$ [mm]	$\alpha_{g,N}$ [-]	Anordnung	$c \geq$ [mm]	$s_{ } \geq$ [mm]	$\alpha_{g,N}$ [-]
	115	-	-	-	-	-	-
	115	55	1,0		115	75	1,35
	115	115	2,0		115	3 h_{ef}	2,0

Hilti HIT-HY 270 mit HAS und HAS-U

Leistung Vollziegel Mz, 1DF
Charakteristische Werte der Tragfähigkeit unter Zuglast und Gruppenfaktor

Anhang C3

Tabelle C5: Charakteristischer Widerstand gegen örtliches Versagen oder Kantenbruch des Mauersteins eines Einzelankers unter Querbeanspruchung bei Randabstand $c \geq 115$ mm (für V_{II}) und $c \geq 1,5 h_{ef}$ (für V_{\perp})

Dübeltyp und -größe	h_{ef} [mm]	f_b [N/mm ²]	$V_{Rk} = V_{Rk,b} = V_{Rk,c,II}$ [kN]	$V_{Rk,c \perp}$
HAS und HAS-U M8; M10	≥ 50	12	2,5	Bemessung gemäß TR 054 Formel 4.7
		20	3,0	
		40	4,0	
HAS und HAS-U M12; M16	≥ 50	12	3,5	
		20	4,5	
		40	5,5	
HAS und HAS-U M8; M10	≥ 80	12	5,0	
		20	6,0	
		40	7,5	
HAS und HAS-U M12; M16	≥ 80	12	6,5	
		20	8,5	
		40	10,5	

Zugehörige Achs- und Randabstände und Gruppenfaktoren α_g

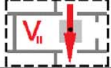
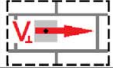
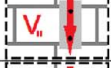
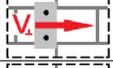
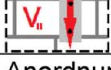
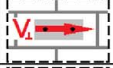
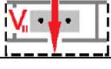
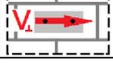
Anordnung	$c \geq$ [mm]	$s_{\perp} \geq$ [mm]	$\alpha_{g \perp, V_{II}}$ [-]	Anordnung	$c \geq$ [mm]	$s_{\perp} \geq$ [mm]	$\alpha_{g \perp, V_{\perp}}$ [-]
	115	-	-		$1,5 h_{ef}$	-	-
	115	55	1,0		$1,5 h_{ef}$	55	1,0
	115	115	2,0		$1,5 h_{ef}$	$3 h_{ef}$	2,0
Anordnung	$c \geq$ [mm]	s_{II} [mm]	$\alpha_{gII, VII}$ [-]	Anordnung	$c \geq$ [mm]	s_{II} [mm]	$\alpha_{gII, V_{\perp}}$ [-]
					$1,5 h_{ef}$	115	1,0
	115	75	2,0		$1,5 h_{ef}$	$3 h_{ef}$	2,0

Tabelle C6: Verschiebungen

h_{ef}	N	δ_{N0}	$\delta_{N\infty}$	V	δ_{V0}	$\delta_{V\infty}$
[mm]	[kN]	[mm]	[mm]	[kN]	[mm]	[mm]
50	1,2	0,1	0,2	1,4	0,5	0,75
80	2,1	0,1	0,2	2,1	1,1	1,65
100	3,9	0,2	0,4	3,0	1,3	1,95

Hilti HIT-HY 270 mit HAS und HAS-U

Leistung Vollziegel Mz, 1DF

Charakteristische Werte der Tragfähigkeit unter Querlast und Gruppenfaktor
Verschiebungen

Anhang C4

Art des Mauersteins: Vollziegel Mz, NF

Tabelle C7: Beschreibung des Mauersteins

Steintyp		Mz, NF	
Rohdichte	ρ [kg/dm ³]	2,0	
Druckfestigkeit	f_b [N/mm ²]	$\geq 10 / 20$	
Norm		EN 771 - 1	
Hersteller			
Steinabmessungen	[mm]	$\geq 240 \times 115 \times 71$	
Minimale Wanddicke	h_{min} [mm]	≥ 115	

Charakteristische Werte der Tragfähigkeit für alle Dübelkombinationen (siehe Tabelle B3)

Tabelle C8: Charakteristischer Widerstand gegen Herausziehen eines Einzelankers oder Ausbruch des Mauersteins unter Zugbeanspruchung bei Randabstand $c \geq 50$ mm

Nutzungskategorie			w/w = w/d		d/d	
Gebrauchstemperaturbereich			Ta	Tb	Ta	Tb
Dübeltyp und -größe	h_{ef} [mm]	f_b [N/mm ²]	$N_{RK} = N_{RK,p} = N_{RK,b} = N_{RK,p,c} = N_{RK,b,c}$ [kN]			
Alle Dübel	≥ 50	10	1,5 (1,5*)			
		20	2,0 (2,0*)			
	≥ 80	10	2,5 (3,0*)			
		20	3,5 (4,0*)			

* nur CAC Reinigung

Zugehörige Achs- und Randabstände und Gruppenfaktoren α_g

Anordnung	$c \geq$ [mm]	$s_{\perp} \geq$ [mm]	$\alpha_{g,N}$ [-]	Anordnung	$c \geq$ [mm]	$s_{ } \geq$ [mm]	$\alpha_{g,N}$ [-]
	50	-	-	-	-	-	-
	50	75	1,0		115	50	1,0
-	-	-	-		50	115	1,15
	50	150	2,0		50	3 h_{ef}	2,0

Hilti HIT-HY 270 mit HAS und HAS-U

Leistung Vollziegel Mz, NF
Charakteristische Werte der Tragfähigkeit unter Zuglast und Gruppenfaktor

Anhang C5

Tabelle C9: Charakteristischer Widerstand gegen Herausziehen eines Einzelankers oder Ausbruch des Mauersteins unter Zugbeanspruchung bei Randabstand $c \geq 150$ mm

Nutzungskategorie			$w/w = w/d$		d/d	
Gebrauchstemperaturbereich			Ta	Tb	Ta	Tb
Dübeltyp und -größe	h_{ef} [mm]	f_b [N/mm ²]	$N_{Rk} = N_{Rk,p} = N_{Rk,b} = N_{Rk,p,c} = N_{Rk,b,c}$ [kN]			
Alle Dübel	≥ 100	10	4,0 (4,5*)			
		20	5,5 (6,0*)			

* nur CAC Reinigung

Zugehörige Achs- und Randabstände und Gruppenfaktoren α_g

Anordnung	$c \geq$ [mm]	$s_{\perp} \geq$ [mm]	$\alpha_{g,N}$ [-]	Anordnung	$c \geq$ [mm]	$s_{II} \geq$ [mm]	$\alpha_{g,N}$ [-]
	150	-	-	-	-	-	-
	150	75	1,40		150	50	0,75
-	-	-	-		150	115	1,35
	150	150	2,0		150	3 h_{ef}	2,0

Tabelle C10: Charakteristischer Widerstand gegen örtliches Versagen oder Kantenbruch des Mauersteins eines Einzelankers unter Querbeanspruchung bei Randabstand $c \geq 1,5 h_{ef}$

Dübeltyp und -größe	h_{ef} [mm]	f_b [N/mm ²]	$V_{Rk} = V_{Rk,b} = V_{Rk,c,II}$ [kN]	$V_{Rk,c \perp}$
Alle Dübel	≥ 50	10	3,0	Bemessung gemäß TR 054 Formel 4.7
		20	4,5	
HAS und HAS-U M8; M10	≥ 80	10	5,0	
		20	7,0	
HAS und HAS-U M8; M10	≥ 100	10	8,0	
		20	11,0	
HAS und HAS-U M12; M16	≥ 80	10	9,0	
		20	12,0	

Zugehörige Achs- und Randabstände und Gruppenfaktoren α_g

Anordnung	$c \geq$ [mm]	$s_{\perp} \geq$ [mm]	$\alpha_{g \perp, V, II}$ [-]	Anordnung	$c \geq$ [mm]	$s_{\perp} \geq$ [mm]	$\alpha_{g \perp, V \perp}$ [-]
	1,5 h_{ef}	-	-		1,5 h_{ef}	-	-
	1,5 h_{ef}	75	1,55		1,5 h_{ef}	75	1,0
	1,5 h_{ef}	150	2,0		1,5 h_{ef}	3 h_{ef}	2,0
Anordnung	$c \geq$ [mm]	s_{II} [mm]	$\alpha_{gII, V, II}$ [-]	Anordnung	$c \geq$ [mm]	s_{II} [mm]	$\alpha_{gII, V \perp}$ [-]
	1,5 h_{ef}	50	1,2		1,5 h_{ef}	50	1,60
	1,5 h_{ef}	75	1,5		1,5 h_{ef}	3 h_{ef}	2,0
	1,5 h_{ef}	115	2,0	-	-	-	-

Hilti HIT-HY 270 mit HAS und HAS-U

Leistung Vollziegel Mz, NF
Charakteristische Werte der Tragfähigkeit unter Zug- und Querlast und Gruppenfaktor

Anhang C6

Tabelle C11: Charakteristischer Widerstand gegen örtliches Versagen oder Kantenbruch des Mauersteins eines Einzelankers unter Querbeanspruchung bei Randabstand $c \geq 50$ mm

Dübeltyp und -größe	h_{ef} [mm]	f_b [N/mm ²]	$V_{Rk} = V_{Rk,b} = V_{Rk,c,II} = V_{Rk,c,\perp}$ [kN]
Alle Dübel	≥ 50	10	3,0
		20	4,5
	≥ 80	10	4,0
		20	5,5

Zugehörige Achs- und Randabstände und Gruppenfaktoren α_g

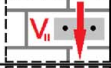
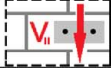
Anordnung	$c \geq$ [mm]	$s_{\perp} \geq$ [mm]	$\alpha_{g\perp, VII}$ [-]
	50	-	-
	50	75	1,55
	50	150	2,0
Anordnung	$c \geq$ [mm]	s_{II} [mm]	$\alpha_{gII, VII}$ [-]
	50	50	1,2
	50	115	2,0

Tabelle C12: Verschiebungen

h_{ef}	N	δ_{N0}	$\delta_{N\infty}$	V	δ_{V0}	$\delta_{V\infty}$
[mm]	[kN]	[mm]	[mm]	[kN]	[mm]	[mm]
50	0,8	0,1	0,2	1,6	0,8	1,2
80	1,5	0,1	0,2	2,1	0,8	1,2
100	2,3	0,1	0,2	2,1	0,8	1,2

Hilti HIT-HY 270 mit HAS und HAS-U

Leistung Vollziegel Mz, NF
Charakteristische Werte der Tragfähigkeit unter Querlast und Gruppenfaktor
Verschiebungen

Anhang C7

Art des Mauersteins: Vollziegel Mz, 2DF

Tabelle C13: Beschreibung des Mauersteins

Steintyp		Mz, 2DF	
Rohdichte	ρ [kg/dm ³]	$\geq 2,0$	
Druckfestigkeit	f_b [N/mm ²]	$\geq 12 / 20$	
Norm		EN 771 - 1	
Hersteller			
Steinabmessungen	[mm]	$\geq 240 \times 115 \times 113$	
Minimale Wanddicke	h_{min} [mm]	≥ 115	

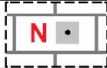
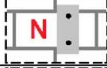
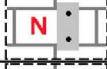
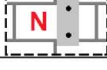
Charakteristische Werte der Tragfähigkeit für alle Dübelkombinationen (siehe Tabelle B3)

Tabelle C14: Charakteristischer Widerstand gegen Herausziehen eines Einzelankers oder Ausbruch des Mauersteins unter Zugbeanspruchung bei Randabstand $c \geq 115$ mm

Nutzungskategorie			w/w = w/d		d/d	
Gebrauchstemperaturbereich			Ta	Tb	Ta	Tb
Dübeltyp und -größe	h_{ef} [mm]	f_b [N/mm ²]	$N_{Rk} = N_{Rk,p} = N_{Rk,b} = N_{Rk,p,c} = N_{Rk,b,c}$ [kN]			
Alle Dübel	≥ 50	12	2,5 (3,0*)			
		20	2,5 (3,0*)			
	≥ 80	12	3,5 (4,0*)			
		20	4,5 (5,5*)			
	≥ 100	12	6,0 (7,0*)			
		20	7,0 (8,0*)			

* nur CAC Reinigung

Zugehörige Achs- und Randabstände und Gruppenfaktoren α_g

Anordnung	$c \geq$ [mm]	$s_{\perp} \geq$ [mm]	$\alpha_{g,N}$ [-]	Anordnung	$c \geq$ [mm]	$s_{ } \geq$ [mm]	$\alpha_{g,N}$ [-]
	115	-	-	-	-	-	-
	115	75	1,0		115	75	1,50
	115	115	1,60	-	-	-	-
	115	3 h_{ef}	2,0		115	3 h_{ef}	2,0

Hilti HIT-HY 270 mit HAS und HAS-U

Leistung Vollziegel Mz, 2DF
Charakteristische Werte der Tragfähigkeit unter Zuglast und Gruppenfaktor

Anhang C8

Tabelle C15: Charakteristischer Widerstand gegen Herausziehen eines Einzelankers oder Ausbruch des Mauersteins unter Zugbeanspruchung bei Randabstand $c \geq 50$ mm

Nutzungskategorie			w/w = w/d		d/d	
Gebrauchstemperaturbereich			Ta	Tb	Ta	Tb
Dübeltyp und -größe	h_{ef} [mm]	f_b [N/mm ²]	$N_{RK} = N_{RK,p} = N_{RK,b} = N_{RK,p,c} = N_{RK,b,c}$ [kN]			
Alle Dübel	≥ 50	12			1,5 (1,5*)	
		20			2,0 (2,0*)	
	≥ 80	12			3,0 (3,5*)	
		20			3,5 (4,0*)	

* nur CAC Reinigung

Zugehörige Achs- und Randabstände und Gruppenfaktoren α_g

Anordnung	$c \geq$ [mm]	$s_{\perp} \geq$ [mm]	$\alpha_{g,N}$ [-]	Anordnung	$c \geq$ [mm]	$s_{ } \geq$ [mm]	$\alpha_{g,N}$ [-]
	50	-	-	-	-	-	-
	50	75	1,10		115	50	1,0
	50	115	1,45		50	115	1,15
	50	3 h_{ef}	2,0		50	3 h_{ef}	2,0

Tabelle C16: Charakteristischer Widerstand gegen örtliches Versagen oder Kantenbruch des Mauersteins eines Einzelankers unter Querbeanspruchung bei Randabstand $c \geq 1,5 h_{ef}$

Dübeltyp und -größe	h_{ef} [mm]	f_b [N/mm ²]	$V_{RK} = V_{RK,b} = V_{RK,c, }$ [kN]	$V_{RK,c\perp}$
Alle Dübel	≥ 50	12	5,5	Bemessung gemäß TR 054 Formel 4.7 (bei $h_{ef} > 80$ mm berechne mit $h_{ef} = 80$ mm)
		20	7,0	
HAS und HAS-U M8; M10	≥ 80	12	8,0	
		20	10,0	
HAS und HAS-U M12	≥ 80	12	10,5	
		20	12,0	
HAS und HAS-U M16	≥ 80	12	12,0	
		20	12,0	

Zugehörige Achs- und Randabstände und Gruppenfaktoren α_g

Anordnung	$c \geq$ [mm]	$s_{\perp} c$ [mm]	$\alpha_{g\perp, V }$ [-]	Anordnung	$c \geq$ [mm]	$s_{\perp} \geq$ [mm]	$\alpha_{g\perp, V\perp}$ [-]
	1,5 h_{ef}	-	-		1,5 h_{ef}	-	-
	1,5 h_{ef}	75	0,85		1,5 h_{ef}	115	0,75
	1,5 h_{ef}	3 h_{ef}	2,0		1,5 h_{ef}	3 h_{ef}	2,0
Anordnung	$c \geq$ [mm]	$s_{ }$ [mm]	$\alpha_{g , V }$ [-]	Anordnung	$c \geq$ [mm]	$s_{ }$ [mm]	$\alpha_{g , V\perp}$ [-]
	1,5 h_{ef}	115	1,60		1,5 h_{ef}	115	0,8
	1,5 h_{ef}	3 h_{ef}	2,0		1,5 h_{ef}	3 h_{ef}	2,0

Hilti HIT-HY 270 mit HAS und HAS-U

Leistung Vollziegel Mz, 2DF
Charakteristische Werte der Tragfähigkeit unter Querlast und Gruppenfaktor

Anhang C9

Tabelle C17: Charakteristischer Widerstand gegen örtliches Versagen oder Kantenbruch des Mauersteins eines Einzelankers unter Querbeanspruchung bei Randabstand $c \geq 50$ mm

Dübeltyp und -größe	h_{ef} [mm]	f_b [N/mm ²]	$V_{Rk} = V_{Rk,b} = V_{Rk,c,II} = V_{Rk,c,\perp}$ [kN]
Alle Dübel	≥ 50	12	3,0
		20	4,0
Alle Dübel	≥ 80	12	4,5
		20	5,5

Zugehörige Achs- und Randabstände und Gruppenfaktoren α_g

Anordnung	$c \geq$ [mm]	$s_{\perp} \geq$ [mm]	$\alpha_{g\perp, VII}$ [-]
	50	-	-
	50	75	0,70
	50	115	1,5
	50	3 h_{ef}	2,0
Anordnung	$c \geq$ [mm]	s_{II} [mm]	$\alpha_{gII, VII}$ [-]
	50	115	2,0

Tabelle C18: Verschiebungen

h_{ef}	N	δ_{N0}	$\delta_{N\infty}$	V	δ_{V0}	$\delta_{V\infty}$
[mm]	[kN]	[mm]	[mm]	[kN]	[mm]	[mm]
50	0,9	0,1	0,2	1,9	0,6	0,9
80	1,3	0,2	0,4	2,8	1,0	1,5
100	1,7	0,3	0,6	2,8	1,0	1,5

Hilti HIT-HY 270 mit HAS und HAS-U

Leistung Vollziegel Mz, 2DF
Charakteristische Werte der Tragfähigkeit unter Querlast und Gruppenfaktor
Verschiebungen

Anhang C10

Art des Mauersteins: Kalksandvollstein KS, 2DF

Tabelle C19: Beschreibung des Mauersteins

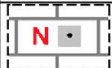
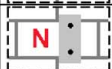
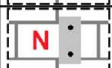
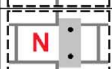
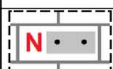
Steintyp		KS, 2DF	
Rohdichte	ρ [kg/dm ³]	≥ 2,0	
Druckfestigkeit	f_b [N/mm ²]	≥ 12 / 28	
Norm		EN 771 - 2	
Hersteller			
Steinabmessungen	[mm]	≥ 240 x 115 x 113	
Minimale Wanddicke	h_{min} [mm]	≥ 115	

Charakteristische Werte der Tragfähigkeit für alle Dübelkombinationen (siehe Tabelle B3)

Tabelle C20: Charakteristischer Widerstand gegen Herausziehen eines Einzelankers oder Ausbruch des Mauersteins unter Zugbeanspruchung bei Randabstand $c \geq 115$ mm

Nutzungskategorie			w/w = w/d		d/d	
Gebrauchstemperaturbereich			Ta	Tb	Ta	Tb
Dübeltyp und -größe	h_{ef} [mm]	f_b [N/mm ²]	$N_{RK} = N_{RK,p} = N_{RK,b} = N_{RK,p,c} = N_{RK,b,c}$ [kN]			
Alle Dübel	≥ 50	12	- ¹⁾	- ¹⁾	6,0	5,0
		28	- ¹⁾	- ¹⁾	9,0	7,5

Zugehörige Achs- und Randabstände und Gruppenfaktoren α_g

Anordnung	$c \geq$ [mm]	$s_{\perp} \geq$ [mm]	$\alpha_{g,N}$ [-]	Anordnung	$c \geq$ [mm]	$s_{ } \geq$ [mm]	$\alpha_{g,N}$ [-]
	115	-	-	-	-	-	-
	115	50	1,0		115	50	1,0
	115	115	1,45	-	-	-	-
	115	150	2,0		115	115 (H)* 240 (S)*	2,0

* (H) = Binder, (S) = Läufer

¹⁾ Leistung nicht bewertet

Tabelle C21: Charakteristischer Widerstand gegen Herausziehen eines Einzelankers oder Ausbruch des Mauersteins unter Zugbeanspruchung bei Randabstand $c \geq 50$ mm

Nutzungskategorie			w/w = w/d		d/d	
Gebrauchstemperaturbereich			Ta	Tb	Ta	Tb
Dübeltyp und -größe	h_{ef} [mm]	f_b [N/mm ²]	$N_{RK} = N_{RK,p} = N_{RK,b} = N_{RK,p,c} = N_{RK,b,c}$ [kN]			
Alle Dübel	≥ 50	12	- ¹⁾	-	4,0	3,5
		28	- ¹⁾	-	6,5	5,5

Zugehörige Achs- und Randabstände und Gruppenfaktoren α_g

Anordnung	$c \geq$ [mm]	$s_{\perp} \geq$ [mm]	$\alpha_{g,N}$ [-]	Anordnung	$c \geq$ [mm]	$s_{ } \geq$ [mm]	$\alpha_{g,N}$ [-]
	50	-	-	-	-	-	-
	50	115	2,0		50	115 (H)* 240 (S)*	2,0

* (H) = Binder, (S) = Läufer

¹⁾ Leistung nicht bewertet

Hilti HIT-HY 270 mit HAS und HAS-U

Leistung Kalksandvollstein KS, 2DF
Charakteristische Werte der Tragfähigkeit unter Zuglast und Gruppenfaktor

Anhang C11

Tabelle C22: Charakteristischer Widerstand gegen örtliches Versagen oder Kantenbruch des Mauersteins eines Einzelankers unter Querbeanspruchung bei Randabstand $c \geq 115$ mm

Dübeltyp und -größe	h_{ef} [mm]	f_b [N/mm ²]	$V_{RK} = V_{RK,b} = V_{RK,c,II}$ [kN]	$V_{RK,c \perp}$
Alle Dübel	≥ 50	12	6,0	Bemessung gemäß TR 054 Formel 4.7
		28	9,0	

Zugehörige Achs- und Randabstände und Gruppenfaktoren α_g

Anordnung	$c \geq$ [mm]	$s_{\perp} \geq$ [mm]	$\alpha_{g \perp, VII}$ [-]	Anordnung	$c \geq$ [mm]	$s_{\perp} \geq$ [mm]	$\alpha_{g \perp, V \perp}$ [-]
	115	-	-		115	-	-
	115	50	0,45		115	50	0,45
	115	115	2,0		115	115	2,0
Anordnung	$c \geq$ [mm]	s_{II} [mm]	$\alpha_{gII, VII}$ [-]	Anordnung	$c \geq$ [mm]	s_{II} [mm]	$\alpha_{gII, V \perp}$ [-]
	115	50	0,45		115	50	0,45
	115	115 (H)* 240 (S)*	2,0		115	115 (H)* 240 (S)*	2,0

* (H) = Binder, (S) = Läufer

Tabelle C23: Charakteristischer Widerstand gegen örtliches Versagen oder Kantenbruch des Mauersteins eines Einzelankers unter Querbeanspruchung bei Randabstand $c \geq 50$ mm

Dübeltyp und -größe	h_{ef} [mm]	f_b [N/mm ²]	$V_{RK} = V_{RK,b} = V_{RK,c,II} = V_{RK,c \perp}$ [kN]
Alle Dübel	≥ 50	12	3,0
		28	4,5

Zugehörige Achs- und Randabstände und Gruppenfaktoren α_g

Anordnung	$c \geq$ [mm]	$s_{\perp} \geq$ [mm]	$\alpha_{g \perp, VII}$ [-]	Anordnung	$c \geq$ [mm]	$s_{\perp} \geq$ [mm]	$\alpha_{g \perp, V \perp}$ [-]
	50	-	-		50	-	-
	50	115	2,0		50	115	2,0
Anordnung	$c \geq$ [mm]	s_{II} [mm]	$\alpha_{gII, VII}$ [-]	Anordnung	$c \geq$ [mm]	s_{II} [mm]	$\alpha_{gII, V \perp}$ [-]
	50	115 (H)* 240 (S)*	2,0		50	115 (H)* 240 (S)*	2,0

* (H) = Binder, (S) = Läufer

Tabelle C24: Verschiebungen

h_{ef}	N	δ_{N0}	$\delta_{N\infty}$	V	δ_{V0}	$\delta_{V\infty}$
[mm]	[kN]	[mm]	[mm]	[kN]	[mm]	[mm]
≥ 50	2,5	0,3	0,6	2,5	1,0	1,5

Hilti HIT-HY 270 mit HAS und HAS-U

Leistung Kalksandvollstein KS, 2DF
Charakteristische Werte der Tragfähigkeit unter Querlast und Gruppenfaktor
Verschiebungen

Anhang C12

Art des Mauersteins: Kalksandvollstein KS, 8DF

Tabelle C25: Beschreibung des Mauersteins

Steintyp		Solid KS, 8DF	
Rohdichte	ρ [kg/dm ³]	≥ 2,0	
Druckfestigkeit	f_b [N/mm ²]	≥ 12 / 20 / 28	
Norm		EN 771 - 2	
Hersteller			
Steinabmessungen	[mm]	≥ 248 x 240 x 248	
Minimale Wanddicke	h_{min} [mm]	≥ 240	

Charakteristische Werte der Tragfähigkeit für alle Dübelkombinationen (siehe Tabelle B3)

Tabelle C26: Charakteristischer Widerstand gegen Herausziehen eines Einzelankers oder Ausbruch des Mauersteins unter Zugbeanspruchung bei Randabstand $c \geq 120$ mm

Nutzungskategorie			w/w = w/d		d/d	
Gebrauchstemperaturbereich			Ta	Tb	Ta	Tb
Dübeltyp und -größe	h_{ef} [mm]	f_b [N/mm ²]	$N_{Rk} = N_{Rk,p} = N_{Rk,b} = N_{Rk,p,c} = N_{Rk,b,c}$ [kN]			
Alle Dübel	≥ 50	12	- ¹⁾	- ¹⁾	7,0	5,5
		20	- ¹⁾	- ¹⁾	9,0	7,5
		28	- ¹⁾	- ¹⁾	10,5	8,5
HAS und HAS-U  M8, M10	≥ 80	12	- ¹⁾	- ¹⁾	8,5	7,0
		20	- ¹⁾	- ¹⁾	11,0	9,0
		28	- ¹⁾	- ¹⁾	12,0	10,5
HAS und HAS-U  M12	≥ 80	12	- ¹⁾	- ¹⁾	11,5	9,5
		20	- ¹⁾	- ¹⁾	12,0	12,0
HAS und HAS-U + HIT-SC  M8, M10	≥ 80	28	- ¹⁾	- ¹⁾	12,0	12,0
		12	- ¹⁾	- ¹⁾	12,0	12,0
HAS und HAS-U  M16	≥ 80	20	- ¹⁾	- ¹⁾	12,0	12,0
		28	- ¹⁾	- ¹⁾	12,0	12,0
HAS und HAS-U + HIT-SC  M12, M16	≥ 100	12	- ¹⁾	- ¹⁾	12,0	11,0
		20	- ¹⁾	- ¹⁾	12,0	12,0
		28	- ¹⁾	- ¹⁾	12,0	12,0
HAS und HAS-U  M8, M10	≥ 100	12	- ¹⁾	- ¹⁾	12,0	11,0
		20	- ¹⁾	- ¹⁾	12,0	12,0
		28	- ¹⁾	- ¹⁾	12,0	12,0

Hilti HIT-HY 270 mit HAS und HAS-U

Leistung Kalksandvollstein KS, 8DF
Charakteristische Werte der Tragfähigkeit unter Zuglast und Gruppenfaktor

Anhang C13

Tabelle C26 fortgesetzt

HAS und HAS-U 	M12, M16	≥ 100	12	- ¹⁾	- ¹⁾	12,0	12,0
HAS und HAS-U 	M8 to M16		20	- ¹⁾	- ¹⁾	12,0	12,0
+ HIT-SC 			28	- ¹⁾	- ¹⁾	12,0	12,0

¹⁾ Leistung nicht bewertet

Zugehörige Achs- und Randabstände und Gruppenfaktoren α_g

Anordnung	c ≥ [mm]	s _⊥ ≥ [mm]	$\alpha_{g,N}$ [-]	Anordnung	c ≥ [mm]	s ≥ [mm]	$\alpha_{g,N}$ [-]
	120	-	-	-	-	-	-
	120	3 h _{ef}	2,0		120	3 h _{ef}	2,0

Tabelle C27: Charakteristischer Widerstand gegen Herausziehen eines Einzelankers oder Ausbruch des Mauersteins unter Zugbeanspruchung bei Randabstand c ≥ 50 mm

Nutzungskategorie			w/w = w/d		d/d			
Gebrauchstemperaturbereich			Ta	Tb	Ta	Tb		
Dübeltyp und -größe	h _{ef} [mm]	f _b [N/mm ²]	N_{RK} = N_{RK,p} = N_{RK,b} = N_{RK,p,c} = N_{RK,b,c} [kN]					
Alle Dübel	≥ 50	12	- ¹⁾	- ¹⁾	4,0	3,5		
		20	- ¹⁾	- ¹⁾	5,5	4,5		
		28	- ¹⁾	- ¹⁾	6,5	5,0		
HAS und HAS-U 	M8, M10	12	- ¹⁾	- ¹⁾	5,0	4,0		
		20	- ¹⁾	- ¹⁾	6,5	5,5		
		28	- ¹⁾	- ¹⁾	7,5	6,5		
HAS und HAS-U 	M12	12	- ¹⁾	- ¹⁾	7,0	5,5		
		HAS und HAS-U + HIT-SC 	M8, M10	20	- ¹⁾	- ¹⁾	9,0	7,5
				28	- ¹⁾	- ¹⁾	10,5	8,5
HAS und HAS-U 	M16	12	- ¹⁾	- ¹⁾	10,0	8,0		
		HAS und HAS-U + HIT-SC 	M12, M16	20	- ¹⁾	- ¹⁾	12,0	10,5
				28	- ¹⁾	- ¹⁾	12,0	12,0
HAS und HAS-U 	M8, M10	12	- ¹⁾	- ¹⁾	8,0	6,5		
		20	- ¹⁾	- ¹⁾	10,5	8,5		
		28	- ¹⁾	- ¹⁾	12,0	10,0		

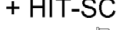
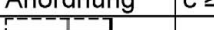
Hilti HIT-HY 270 mit HAS und HAS-U

Leistung Kalksandvollstein KS, 8DF

Charakteristische Werte der Tragfähigkeit unter Zuglast und Gruppenfaktor

Anhang C14

Tabelle C27 fortgesetzt

HAS und HAS-U 	M12	≥ 100	12	⁻¹⁾	⁻¹⁾	9,5	8,0
HAS und HAS-U + HIT-SC 	M8, M10		20	⁻¹⁾	⁻¹⁾	12,0	10,0
HAS und HAS-U 	M16		28	⁻¹⁾	⁻¹⁾	12,0	12,0
HAS und HAS-U 	M12, M16		12	⁻¹⁾	⁻¹⁾	12,0	10,5
HAS und HAS-U + HIT-SC 	M12, M16		20	⁻¹⁾	⁻¹⁾	12,0	12,0
HAS und HAS-U + HIT-SC 	M12, M16		28	⁻¹⁾	⁻¹⁾	12,0	12,0

¹⁾ Leistung nicht bewertet

Zugehörige Achs- und Randabstände und Gruppenfaktoren α_g

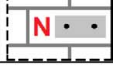
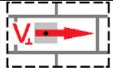
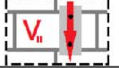
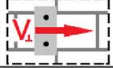
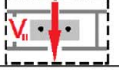
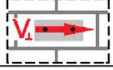
Anordnung	$c \geq$ [mm]	$s_{\perp} \geq$ [mm]	$\alpha_{g,N}$ [-]	Anordnung	$c \geq$ [mm]	$s_{II} \geq$ [mm]	$\alpha_{g,N}$ [-]
	50	-	-	-	-	-	-
	50	50	1,0		50	50	1,0
	50	$3 h_{ef}$	2,0		50	$3 h_{ef}$	2,0

Tabelle C28: Charakteristischer Widerstand gegen örtliches Versagen oder Kantenbruch des Mauersteins eines Einzelankers unter Querbeanspruchung bei Randabstand $c \geq 120$ mm (für V_{II}) und $c \geq 1,5 h_{ef}$ (für V_{\perp})

Dübeltyp und -größe	h_{ef} [mm]	f_b [N/mm ²]	$V_{RK} = V_{RK,b} = V_{RK,c,II}$ [kN]	$V_{RK,c \perp}$
HAS und HAS-U 	≥ 50	12	9,0	Bemessung gemäß TR 054 Formel 4.7
		20	12,0	
		28	12,0	
HAS und HAS-U 	≥ 50	12	12,0	
		20	12,0	
HAS und HAS-U + HIT-SC 	≥ 50	28	12,0	

Zugehörige Achs- und Randabstände und Gruppenfaktoren α_g

Anordnung	$c \geq$ [mm]	$s_{\perp} \geq$ [mm]	$\alpha_{g \perp, V_{II}}$ [-]	Anordnung	$c \geq$ [mm]	$s_{\perp} \geq$ [mm]	$\alpha_{g \perp, V_{\perp}}$ [-]
	120	-	-		$1,5 h_{ef}$	-	-
	120	$3 h_{ef}$	2,0		$1,5 h_{ef}$	$3 h_{ef}$	2,0
Anordnung	$c \geq$ [mm]	s_{II} [mm]	$\alpha_{gII, VII}$ [-]	Anordnung	$c \geq$ [mm]	s_{II} [mm]	$\alpha_{gII, V \perp}$ [-]
	120	$3 h_{ef}$	2,0		$1,5 h_{ef}$	$3 h_{ef}$	2,0

Hilti HIT-HY 270 mit HAS und HAS-U

Leistung Kalksandvollstein KS, 8DF
Charakteristische Werte der Tragfähigkeit unter Zug- und Querlast und Gruppenfaktor

Anhang C15

Tabelle C29: Charakteristischer Widerstand gegen örtliches Versagen oder Kantenbruch des Mauersteins eines Einzelankers unter Querbeanspruchung bei Randabstand $c \geq 50$ mm

Dübeltyp und -größe	h_{ef} [mm]	f_b [N/mm ²]	$V_{RK} = V_{RK,b} = V_{RK,c,II} = V_{RK,c,\perp}$ [kN]
Alle Dübel	≥ 50	12	3,0
		20	4,0
		28	4,5

Zugehörige Achs- und Randabstände und Gruppenfaktoren α_g

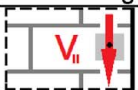
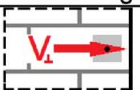
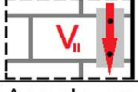
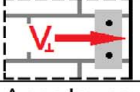
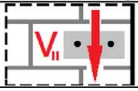
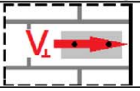
Anordnung	$c \geq$ [mm]	$s_{\perp} \geq$ [mm]	$\alpha_{g\perp, V_{II}}$ [-]	Anordnung	$c \geq$ [mm]	$s_{\perp} \geq$ [mm]	$\alpha_{g\perp, V_{\perp}}$ [-]
	50	-	-		50	-	-
	50	250	2,0		50	250	2,0
Anordnung	$c \geq$ [mm]	s_{II} [mm]	$\alpha_{gII, VII}$ [-]	Anordnung	$c \geq$ [mm]	s_{II} [mm]	$\alpha_{gII, V_{\perp}}$ [-]
	50	250	2,0		50	250	2,0

Tabelle C30: Verschiebungen

h_{ef}	N	δ_{N0}	$\delta_{N\infty}$	V	δ_{V0}	$\delta_{V\infty}$
[mm]	[kN]	[mm]	[mm]	[kN]	[mm]	[mm]
50	2,3	0,10	0,20	3,4	2,8	4,2
80	3,4	0,15	0,30	3,4	2,8	4,2
100	3,4	0,15	0,30	3,4	2,8	4,2

Hilti HIT-HY 270 mit HAS und HAS-U

Leistung Kalksandvollstein KS, 8DF
Charakteristische Werte der Tragfähigkeit unter Querlast und Gruppenfaktor
Verschiebungen

Anhang C16

Art des Mauersteins: Leichtbetonvollstein Vbl, 2DF

Tabelle C31: Beschreibung des Mauersteins

Steintyp		Vbl, 2DF	
Rohdichte	ρ [kg/dm ³]	$\geq 0,9$	
Druckfestigkeit	f_b [N/mm ²]	$\geq 4 / 6$	
Norm		EN 771-3	
Hersteller			
Steinabmessungen	[mm]	$\geq 240 \times 115 \times 113$	
Minimale Wanddicke	h_{min} [mm]	≥ 115	

Charakteristische Werte der Tragfähigkeit für alle Dübelkombinationen (siehe Tabelle B3)

Tabelle C32: Charakteristischer Widerstand gegen Herausziehen eines Einzelankers oder Ausbruch des Mauersteins unter Zugbeanspruchung bei Randabstand $c \geq 115$ mm

Nutzungskategorie			w/w = w/d		d/d	
Gebrauchstemperaturbereich			Ta	Tb	Ta	Tb
Dübeltyp und -größe	h_{ef} [mm]	f_b [N/mm ²]	$N_{Rk} = N_{Rk,p} = N_{Rk,b} = N_{Rk,p,c} = N_{Rk,b,c}$ [kN]			
Alle Dübel	≥ 50	4	3,0	2,0	3,0 (3,5*)	2,5
		6	3,5	3,0	4,0	3,0 (3,5*)
	≥ 80	4	4,5	3,5	5,0	4,0 (4,5*)
		6	5,5	4,5	6,0 (6,5*)	5,0 (5,5*)
	≥ 100	4	6,0	5,0	6,5 (7,0*)	5,5 (6,0*)
		6	7,5	6,0	8,0 (8,5*)	6,5 (7,0*)

* nur CAC Reinigung

Zugehörige Achs- und Randabstände und Gruppenfaktoren α_g

Anordnung	$c \geq$ [mm]	$s_{\perp} \geq$ [mm]	$\alpha_{g,N}$ [-]	Anordnung	$c \geq$ [mm]	$s_{ } \geq$ [mm]	$\alpha_{g,N}$ [-]
	115	-	-	-	-	-	-
	115	3 h_{ef}	2,0		115	3 h_{ef}	2,0

Tabelle C33: Charakteristischer Widerstand gegen Herausziehen eines Einzelankers oder Ausbruch des Mauersteins unter Zugbeanspruchung bei Randabstand $c \geq 50$ mm

Nutzungskategorie			w/w = w/d		d/d	
Gebrauchstemperaturbereich			Ta	Tb	Ta	Tb
Dübeltyp und -größe	h_{ef} [mm]	f_b [N/mm ²]	$N_{Rk} = N_{Rk,p} = N_{Rk,b} = N_{Rk,p,c} = N_{Rk,b,c}$ [kN]			
Alle Dübel	≥ 50	4	1,5	1,2	1,5	1,5
		6	2,0	1,5	2,0	1,5

Zugehörige Achs- und Randabstände und Gruppenfaktoren α_g

Anordnung	$c \geq$ [mm]	$s_{\perp} \geq$ [mm]	$\alpha_{g,N}$ [-]	Anordnung	$c \geq$ [mm]	$s_{ } \geq$ [mm]	$\alpha_{g,N}$ [-]
	50	-	-	-	-	-	-
	50	115	1,0		50	115	1,0
	115	50	1,0		115	50	1,0
	50	3 h_{ef}	2,0		50	3 h_{ef}	2,0

Hilti HIT-HY 270 mit HAS und HAS-U

Leistung Leichtbetonvollstein Vbl, 2DF
Charakteristische Werte der Tragfähigkeit unter Zuglast und Gruppenfaktor

Anhang C17

Tabelle C34: Charakteristischer Widerstand gegen örtliches Versagen oder Kantenbruch des Mauersteins eines Einzelankers unter Querbeanspruchung bei Randabstand $c \geq 115$ mm (für V_{II}) und $c \geq 1,5$ hef (für V_{\perp})

Dübeltyp und -größe	hef [mm]	f_b [N/mm ²]	$V_{RK} = V_{RK,b} = V_{RK,c,II}$ [kN]	$V_{RK,c \perp}$
HAS und HAS-U M8	≥ 50	4	2,0	Bemessung gemäß TR 054 Formel 4.7
		6	2,5	
HAS und HAS-U M10 to M16	4	2,5		
	6	3,0		

Zugehörige Achs- und Randabstände und Gruppenfaktoren α_g

Anordnung	$c \geq$ [mm]	$s_{\perp} \geq$ [mm]	$\alpha_{g \perp, VII}$ [-]	Anordnung	$c \geq$ [mm]	$s_{\perp} \geq$ [mm]	$\alpha_{g \perp, V \perp}$ [-]
	115	-	-		1,5 hef	-	-
	115	3 hef	2,0		1,5 hef	3 hef	2,0
Anordnung	$c \geq$ [mm]	s_{II} [mm]	$\alpha_{gII, VII}$ [-]	Anordnung	$c \geq$ [mm]	s_{II} [mm]	$\alpha_{gII, V \perp}$ [-]
	115	3 hef	2,0		1,5 hef	3 hef	2,0

Tabelle C35: Charakteristischer Widerstand gegen örtliches Versagen oder Kantenbruch des Mauersteins eines Einzelankers unter Querbeanspruchung bei Randabstand $c \geq 50$ mm

Dübeltyp und -größe	hef [mm]	f_b [N/mm ²]	$V_{RK} = V_{RK,b} = V_{RK,c,II} = V_{RK,c \perp}$ [kN]
Alle Dübel	≥ 50	4	1,20
		6	1,50

Zugehörige Achs- und Randabstände und Gruppenfaktoren α_g

Anordnung	$c \geq$ [mm]	$s_{\perp} \geq$ [mm]	$\alpha_{g \perp, VII}$ [-]	Anordnung	$c \geq$ [mm]	$s_{\perp} \geq$ [mm]	$\alpha_{g \perp, V \perp}$ [-]
	50	-	-		50	-	-
	115	50	1,0		115	50	1,0
	50	115	1,0		50	115	1,0
	50	3 hef	2,0		50	3 hef	2,0
Anordnung	$c \geq$ [mm]	s_{II} [mm]	$\alpha_{gII, VII}$ [-]	Anordnung	$c \geq$ [mm]	s_{II} [mm]	$\alpha_{gII, V \perp}$ [-]
	115	50	1,0		115	50	1,0
	50	115	1,0		50	115	1,0
	50	3 hef	2,0		50	3 hef	2,0

Tabelle C36: Verschiebungen

hef	N	δ_{N0}	$\delta_{N\infty}$	V	δ_{V0}	$\delta_{V\infty}$
[mm]	[kN]	[mm]	[mm]	[kN]	[mm]	[mm]
≥ 50	2,5	0,3	0,6	1,8	2,0	3,0

Hilti HIT-HY 270 mit HAS und HAS-U

Leistung Leichtbetonvollstein Vbl, 2DF
Charakteristische Werte der Tragfähigkeit unter Querlast und Gruppenfaktor
Verschiebungen

Anhang C18

Art des Mauersteins: Normalbetonvollstein Vbn, 2DF

Tabelle C37: Beschreibung des Mauersteins

Steintyp		Vbn, 2DF	
Rohdichte	ρ [kg/dm ³]	$\geq 2,0$	
Druckfestigkeit	f_b [N/mm ²]	≥ 6 oder ≥ 16	
Norm		EN 771-3	
Hersteller			
Steinabmessungen	[mm]	$\geq 240 \times 115 \times 113$	
Minimale Wanddicke	h_{min} [mm]	≥ 115	

Charakteristische Werte der Tragfähigkeit für alle Dübelkombinationen (siehe Tabelle B3)

Tabelle C38: Charakteristischer Widerstand gegen Herausziehen eines Einzelankers oder Ausbruch des Mauersteins unter Zugbeanspruchung bei Randabstand $c \geq 115$ mm

Nutzungskategorie			w/w = w/d		d/d	
Gebrauchstemperaturbereich			Ta	Tb	Ta	Tb
Dübeltyp und -größe	h_{ef} [mm]	f_b [N/mm ²]	$N_{RK} = N_{RK,p} = N_{RK,b} = N_{RK,p,c} = N_{RK,b,c}$ [kN]			
Alle Dübel	≥ 50	6	3,0	2,5	3,0	2,5
		16	5,5	4,5	5,5	4,5

Zugehörige Achs- und Randabstände und Gruppenfaktoren α_g

Anordnung	$c \geq$ [mm]	$s_{\perp} \geq$ [mm]	$\alpha_{g,N}$ [-]	Anordnung	$c \geq$ [mm]	$s_{ } \geq$ [mm]	$\alpha_{g,N}$ [-]
	115	-	-	-	-	-	-
	115	3 h_{ef}	2,0		115	3 h_{ef}	2,0

Tabelle C39: Charakteristischer Widerstand gegen Herausziehen eines Einzelankers oder Ausbruch des Mauersteins unter Zugbeanspruchung bei Randabstand $c \geq 50$ mm

Nutzungskategorie			w/w = w/d		d/d	
Gebrauchstemperaturbereich			Ta	Tb	Ta	Tb
Dübeltyp und -größe	h_{ef} [mm]	f_b [N/mm ²]	$N_{RK} = N_{RK,p} = N_{RK,b} = N_{RK,p,c} = N_{RK,b,c}$ [kN]			
Alle Dübel	≥ 50	6	1,5	1,2	1,5	1,2
		16	2,5	2,0	2,5	2,0

Zugehörige Achs- und Randabstände und Gruppenfaktoren α_g

Anordnung	$c \geq$ [mm]	$s_{\perp} \geq$ [mm]	$\alpha_{g,N}$ [-]	Anordnung	$c \geq$ [mm]	$s_{ } \geq$ [mm]	$\alpha_{g,N}$ [-]
	50	-	-	-	-	-	-
	50	115	1,0		50	115	1,0
	115	50	1,0		115	50	1,0
	50	3 h_{ef}	2,0		50	3 h_{ef}	2,0

Hilti HIT-HY 270 mit HAS und HAS-U

Leistung Normalbetonvollstein Vbn, 2DF
Charakteristische Werte der Tragfähigkeit unter Zuglast und Gruppenfaktor

Anhang C19

Tabelle C40: Charakteristischer Widerstand gegen örtliches Versagen oder Kantenbruch des Mauersteins eines Einzelankers unter Querbeanspruchung bei Randabstand $c \geq 115$ mm (für V_{II}) und $c \geq 1,5 h_{ef}$ (für V_{\perp})

Dübeltyp und -größe	h_{ef} [mm]	f_b [N/mm ²]	$V_{Rk} = V_{Rk,b} = V_{Rk,c,II}$ [kN]	$V_{Rk,c \perp}$
Alle Dübel	≥ 50	6	4,0	Bemessung gemäß TR 054 Formel 4.7
		16	6,5	

Zugehörige Achs- und Randabstände und Gruppenfaktoren α_g

Anordnung	$c \geq$ [mm]	$s_{\perp} \geq$ [mm]	$\alpha_{g \perp, V_{II}}$ [-]	Anordnung	$c \geq$ [mm]	$s_{\perp} \geq$ [mm]	$\alpha_{g \perp, V_{\perp}}$ [-]
	115	-	-		$1,5 h_{ef}$	-	-
	115	$3 h_{ef}$	2,0		$1,5 h_{ef}$	$3 h_{ef}$	2,0
Anordnung	$c \geq$ [mm]	s_{II} [mm]	$\alpha_{gII, VII}$ [-]	Anordnung	$c \geq$ [mm]	s_{II} [mm]	$\alpha_{gII, V_{\perp}}$ [-]
	115	$3 h_{ef}$	2,0		$1,5 h_{ef}$	$3 h_{ef}$	2,0

Tabelle C41: Charakteristischer Widerstand gegen örtliches Versagen oder Kantenbruch des Mauersteins eines Einzelankers unter Querbeanspruchung bei Randabstand $c \geq 50$ mm

Dübeltyp und -größe	h_{ef} [mm]	f_b [N/mm ²]	$V_{Rk} = V_{Rk,b} = V_{Rk,c,II} = V_{Rk,c \perp}$ [kN]
Alle Dübel	≥ 50	4	1,5
		6	3,0

Zugehörige Achs- und Randabstände und Gruppenfaktoren α_g

Anordnung	$c \geq$ [mm]	$s_{\perp} \geq$ [mm]	$\alpha_{g \perp, V_{II}}$ [-]	Anordnung	$c \geq$ [mm]	$s_{\perp} \geq$ [mm]	$\alpha_{g \perp, V_{\perp}}$ [-]
	50	-	-		50	-	-
	115	50	1,0		115	50	1,0
	50	115	1,0		50	115	1,0
	50	$3 h_{ef}$	2,0		50	$3 h_{ef}$	2,0
Anordnung	$c \geq$ [mm]	s_{II} [mm]	$\alpha_{gII, VII}$ [-]	Anordnung	$c \geq$ [mm]	s_{II} [mm]	$\alpha_{gII, V_{\perp}}$ [-]
	115	50	1,0		115	50	1,0
	50	115	1,0		50	115	1,0
	50	$3 h_{ef}$	2,0		50	$3 h_{ef}$	2,0

Tabelle C42: Verschiebungen

h_{ef}	N	δ_{N0}	$\delta_{N\infty}$	V	δ_{V0}	$\delta_{V\infty}$
[mm]	[kN]	[mm]	[mm]	[kN]	[mm]	[mm]
≥ 50	1,5	0,3	0,6	1,8	2,0	3,0

Hilti HIT-HY 270 mit HAS und HAS-U

Leistung Normalbetonvollstein Vbn, 2DF
Charakteristische Werte der Tragfähigkeit unter Querlast und Gruppenfaktor
Verschiebungen

Anhang C20

Art des Mauersteins: Lochziegel Hlz, 10DF

Tabelle C43: Beschreibung des Mauersteins

Steintyp		Hlz12-1,4-10 DF	 <p>Steinzeichnung siehe Tabelle B4</p>
Rohdichte	ρ [kg/dm ³]	$\geq 1,4$	
Druckfestigkeit	f_b [N/mm ²]	$\geq 12 / 20$	
Norm		EN 771 - 1	
Hersteller		Rapis (D)	
Steinabmessungen	[mm]	300 x 240 x 238	
Minimale Wanddicke	h_{min} [mm]	≥ 240	

Charakteristische Werte der Tragfähigkeit für alle Dübelkombinationen (siehe Tabelle B3)

Tabelle C44: Charakteristischer Widerstand gegen Herausziehen eines Einzelankers oder Ausbruch des Mauersteins unter Zugbeanspruchung bei Randabstand $c \geq 150$ mm

Nutzungskategorie			w/w = w/d		d/d	
Gebrauchstemperaturbereich			Ta	Tb	Ta	Tb
Dübeltyp und -größe	h_{ef} [mm]	f_b [N/mm ²]	$N_{RK} = N_{RK,p} = N_{RK,b} = N_{RK,p,c} = N_{RK,b,c}$ [kN]			
Alle Dübel	≥ 80	12	5,5 (6,0*)			
		20	7,0 (8,0*)			

* nur CAC Reinigung

Zugehörige Achs- und Randabstände und Gruppenfaktoren α_g

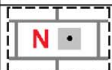
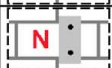
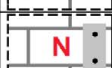
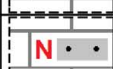
Anordnung	$c \geq$ [mm]	$s_{\perp} \geq$ [mm]	$\alpha_{g,N}$ [-]	Anordnung	$c \geq$ [mm]	$s_{ } \geq$ [mm]	$\alpha_{g,N}$ [-]
	150	-	-	-	-	-	-
	150	240	2,0		150	300	2,0

Tabelle C45: Charakteristischer Widerstand gegen Herausziehen eines Einzelankers oder Ausbruch des Mauersteins unter Zugbeanspruchung bei Randabstand $c \geq 50$ mm

Nutzungskategorie			w/w = w/d		d/d	
Gebrauchstemperaturbereich			Ta	Tb	Ta	Tb
Dübeltyp und -größe	h_{ef} [mm]	f_b [N/mm ²]	$N_{RK} = N_{RK,p} = N_{RK,b} = N_{RK,p,c} = N_{RK,b,c}$ [kN]			
Alle Dübel	≥ 80	12	1,5 (2,0*)			
		20	2,0 (2,5*)			

* nur CAC Reinigung

Zugehörige Achs- und Randabstände und Gruppenfaktoren α_g

Anordnung	$c \geq$ [mm]	$s_{\perp} \geq$ [mm]	$\alpha_{g,N}$ [-]	Anordnung	$c \geq$ [mm]	$s_{ } \geq$ [mm]	$\alpha_{g,N}$ [-]
	50	-	-	-	-	-	-
	50	5 d_0	1,0		50	5 d_0	1,0
	50	240	2,0		50	300	2,0

Hilti HIT-HY 270 mit HAS und HAS-U

Leistung Lochziegel Hlz, 10DF

Charakteristische Werte der Tragfähigkeit unter Zuglast und Gruppenfaktor

Anhang C21

Tabelle C46: Charakteristischer Widerstand gegen örtliches Versagen oder Kantenbruch des Mauersteins eines Einzelankers unter Querbeanspruchung bei Randabstand $c \geq 300$ mm

Dübeltyp und -größe	h_{ef} [mm]	f_b [N/mm ²]	$V_{Rk} = V_{Rk,b} = V_{Rk,c,II} = V_{Rk,c,\perp}$ ¹⁾ [kN]
HAS und HAS-U M8, M10	≥ 80	12	4,5
		20	5,5
HAS und HAS-U M12, M16		12	9,5
		20	10

1) $V_{Rk,b}$ kann als $V_{Rk,c,\perp}$ eingesetzt werden wenn:
 - die Lagerfugen vollständig mit Mörtel verfüllt sind und
 - die Stoßfugen vollständig mit Mörtel verfüllt sind oder die Steine direkten Kontakt zueinander haben.

Zugehörige Achs- und Randabstände und Gruppenfaktoren α_g

Anordnung	$c \geq$ [mm]	$s_{\perp} \geq$ [mm]	$\alpha_{g\perp, VII}$ [-]	Anordnung	$c \geq$ [mm]	$s_{\perp} \geq$ [mm]	$\alpha_{g\perp, V\perp}$ [-]
	300	-	-		300	-	-
	300	240	2,0		300	240	1,0
Anordnung	$c \geq$ [mm]	s_{II} [mm]	$\alpha_{gII, VII}$ [-]	Anordnung	$c \geq$ [mm]	s_{II} [mm]	$\alpha_{gII, V\perp}$ [-]
	300	300	2,0		300	300	2,0

Tabelle C47: Charakteristischer Widerstand gegen örtliches Versagen oder Kantenbruch des Mauersteins eines Einzelankers unter Querbeanspruchung bei Randabstand $c \geq 50$ mm

Dübeltyp und -größe	h_{ef} [mm]	c [mm]	$V_{Rk,c,\perp}$ [kN]
Alle Dübel	≥ 80	≥ 50	1,25
		≥ 250	2,5
		c [mm]	$V_{Rk} = V_{Rk,b} = V_{Rk,c,II}$ [kN]
		≥ 50	1,25
		≥ 100 und $\geq 6 \cdot d_0$	2,5

Zugehörige Achs- und Randabstände und Gruppenfaktoren α_g

Anordnung	$c \geq$ [mm]	$s_{\perp} \geq$ [mm]	$\alpha_{g\perp, VII}$ [-]	Anordnung	$c \geq$ [mm]	$s_{\perp} \geq$ [mm]	$\alpha_{g\perp, V\perp}$ [-]
	siehe Tabelle C47	-	-		siehe Tabelle C47	-	-
	siehe Tabelle C47	$5 d_0$	1,0		siehe Tabelle C47	$5 d_0$	1,0
	siehe Tabelle C47	240	2,0		siehe Tabelle C47	240	2,0
Anordnung	$c \geq$ [mm]	s_{II} [mm]	$\alpha_{gII, VII}$ [-]	Anordnung	$c \geq$ [mm]	s_{II} [mm]	$\alpha_{gII, V\perp}$ [-]
	siehe Tabelle C47	$5 d_0$	1,0		siehe Tabelle C47	$5 d_0$	1,0
	siehe Tabelle C47	300	2,0		siehe Tabelle C47	300	2,0

Tabelle C48: Verschiebungen

h_{ef}	N	δ_{N0}	$\delta_{N\infty}$	V	δ_{V0}	$\delta_{V\infty}$
[mm]	[kN]	[mm]	[mm]	[kN]	[mm]	[mm]
≥ 80	2,5	0,4	0,8	1,7	1,0	1,5

Hilti HIT-HY 270 mit HAS und HAS-U

Leistung Lochziegel Hlz, 10DF
 Charakteristische Werte der Tragfähigkeit unter Querlast und Gruppenfaktor
 Verschiebungen

Anhang C22

Art des Mauersteins: Kalksandlochstein KSL, 8DF

Tabelle C49: Beschreibung des Mauersteins

Steintyp		KSL-12-1,4-8 DF	 <p>Steinzeichnung siehe Tabelle B4</p>	
Rohdichte	ρ	[kg/dm ³]		$\geq 1,4$
Druckfestigkeit	f_b	[N/mm ²]		$\geq 12 / 20$
Norm				EN 771 – 2
Hersteller				KS Wemding (D)
Steinabmessungen		[mm]		248 x 240 x 238
Minimale Wanddicke	h_{min}	[mm]		≥ 240

Charakteristische Werte der Tragfähigkeit für alle Dübelkombinationen (siehe Tabelle B3)

Tabelle C50: Charakteristischer Widerstand gegen Herausziehen eines Einzelankers oder Ausbruch des Mauersteins unter Zugbeanspruchung bei Randabstand $c \geq 50$ mm

Nutzungskategorie			w/w = w/d		d/d	
Gebrauchstemperaturbereich			Ta	Tb	Ta	Tb
Dübeltyp und -größe	h_{ef} [mm]	f_b [N/mm ²]	$N_{RK} = N_{RK,p} = N_{RK,b} = N_{RK,p,c} = N_{RK,b,c}$ [kN]			
HAS und HAS-U M8 bis M16	≥ 80	12	- ¹⁾	- ¹⁾	4,0	3,0
		20	- ¹⁾	- ¹⁾	5,5	4,5
	≥ 130	12	- ¹⁾	- ¹⁾	5,0	4,0
		20	- ¹⁾	- ¹⁾	7,5	6,0

Zugehörige Achs- und Randabstände und Gruppenfaktoren α_g

Anordnung	$c \geq$ [mm]	$s_{\perp} \geq$ [mm]	$\alpha_{g,N}$ [-]	Anordnung	$c \geq$ [mm]	$s_{ } \geq$ [mm]	$\alpha_{g,N}$ [-]
	50	-	-	-	-	-	-
	50	50	1,0		50	50	1,0
	50	240	2,0		50	250	2,0

¹⁾ Leistung nicht bewertet

Tabelle C51: Charakteristischer Widerstand gegen örtliches Versagen oder Kantenbruch des Mauersteins eines Einzelankers unter Querbeanspruchung bei Randabstand $c \geq 125$ mm (für $V_{||}$) und $c \geq 250$ mm (für V_{\perp})

Dübeltyp und -größe	h_{ef} [mm]	f_b [N/mm ²]	$V_{RK} = V_{RK,b} = V_{RK,c, } = V_{RK,c,\perp}$ ¹⁾
HAS und HAS-U M8	≥ 80	12	6,0
		20	9,0
HAS und HAS-U M10		12	9,0
		20	12,0
HAS und HAS-U M12 to M16		12	12,0
		20	12,0

¹⁾ $V_{RK,b}$ darf als $V_{RK,c,\perp}$ eingesetzt werden wenn:
 - die Lagerfugen vollständig mit Mörtel verfüllt sind und
 - die Stoßfugen vollständig mit Mörtel verfüllt sind oder die Steine direkten Kontakt zueinander haben und
 - $\max V_{RK,c,\perp} = 9$ kN

Hilti HIT-HY 270 mit HAS und HAS-U

Leistung Kalksandlochstein KSL, 8DF
Charakteristische Werte der Tragfähigkeit unter Zuglast und Gruppenfaktor

Anhang C23

Zugehörige Achs- und Randabstände und Gruppenfaktoren α_g

Anordnung	$c \geq$ [mm]	$s_{\perp} \geq$ [mm]	$\alpha_{g^{\perp}, V_{II}}$ [-]	Anordnung	$c \geq$ [mm]	$s_{\perp} \geq$ [mm]	$\alpha_{g^{\perp}, V^{\perp}}$ [-]
	125	-	-		250	-	-
	125	240	2,0	-	-	-	-
Anordnung	$c \geq$ [mm]	s_{II} [mm]	$\alpha_{g_{II}, V_{II}}$ [-]	Anordnung	$c \geq$ [mm]	s_{II} [mm]	$\alpha_{g_{II}, V^{\perp}}$ [-]
	125	250	2,0		250	250	2,0

Tabelle C52: Charakteristischer Widerstand gegen örtliches Versagen oder Kantenbruch des Mauersteins eines Einzelankers unter Querbeanspruchung bei Randabstand $c \geq 50$ mm

Dübeltyp und -größe	h_{ef} [mm]	c [mm]	f_b [N/mm ²]	$V_{RK,c,\perp}$ [kN]
Alle Dübel	≥ 80	≥ 50	12	4,0
			20	6,0
		≥ 50	f_b [N/mm ²]	$V_{RK} = V_{RK,b} = V_{RK,c,II}$ [kN]
			12	4,0
		20	6,0	

Zugehörige Achs- und Randabstände und Gruppenfaktoren α_g

Anordnung	$c \geq$ [mm]	$s_{\perp} \geq$ [mm]	$\alpha_{g^{\perp}, V_{II}}$ [-]	Anordnung	$c \geq$ [mm]	$s_{\perp} \geq$ [mm]	$\alpha_{g^{\perp}, V^{\perp}}$ [-]
	50	-	-		50	-	-
	50	50	1,0		50	50	1,0
	50	240	2,0		50	240	2,0
Anordnung	$c \geq$ [mm]	s_{II} [mm]	$\alpha_{g_{II}, V_{II}}$ [-]	Anordnung	$c \geq$ [mm]	s_{II} [mm]	$\alpha_{g_{II}, V^{\perp}}$ [-]
	50	50	1,0		50	50	1,0
	50	250	2,0		50	250	2,0

Tabelle C53: Verschiebungen

h_{ef}	N	δ_{N0}	$\delta_{N\infty}$	V	δ_{V0}	$\delta_{V\infty}$
[mm]	[kN]	[mm]	[mm]	[kN]	[mm]	[mm]
80	1,0	0,3	0,6	4,3	2,0	3,0
130	2,1	0,3	0,6	4,3	2,0	3,0

Hilti HIT-HY 270 mit HAS und HAS-U

Leistung Kalksandlochstein KSL, 8DF

Charakteristische Werte der Tragfähigkeit unter Querlast und Gruppenfaktor
Verschiebungen

Anhang C24

Art des Mauersteins: Leichtbeton Hohlblockstein Hbl, 16DF

Tabelle C54: Beschreibung des Mauersteins

Steintyp		Hbl-4-0,7	 <p>Steinzeichnung siehe Tabelle B4</p>
Rohdichte	ρ [kg/dm ³]	$\geq 0,7$	
Druckfestigkeit	f_b [N/mm ²]	$\geq 2 / 6$	
Norm		EN 771-3	
Hersteller		Knobel (D)	
Steinabmessungen	[mm]	495 x 240 x 238	
Minimale Wanddicke	h_{min} [mm]	≥ 240	

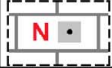
Charakteristische Werte der Tragfähigkeit für alle Dübelkombinationen (siehe Tabelle B3)

Tabelle C55: Charakteristischer Widerstand gegen Herausziehen eines Einzelankers oder Ausbruch des Mauersteins unter Zugbeanspruchung bei Randabstand $c \geq 125$ mm

Nutzungskategorie			w/w = w/d		d/d	
Gebrauchstemperaturbereich			Ta	Tb	Ta	Tb
Dübeltyp und -größe	h_{ef} [mm]	f_b [N/mm ²]	$N_{RK} = N_{RK,p} = N_{RK,b} = N_{RK,p,c} = N_{RK,b,c}$ [kN]			
HAS und HAS-U M8 und M10,	≥ 80	2	3,5	3,0	4,0	3,0 (3,5*)
		6	6,0	5,0	6,5 (7,0*)	5,5 (6,0*)
HAS und HAS-U M12 und M16	≥ 80	2	4,0	3,5	4,5	3,5 (4,0*)
		6	7,0	6,0	8,0	6,5 (7,0*)

* nur CAC Reinigung

Zugehörige Achs- und Randabstände und Gruppenfaktoren α_g

Anordnung	$c \geq$ [mm]	$s_{\perp} \geq$ [mm]	$\alpha_{g,N}$ [-]	Anordnung	$c \geq$ [mm]	$s_{ } \geq$ [mm]	$\alpha_{g,N}$ [-]
	125	-	-	-	-	-	-
	125	240	2,0		125	240	2,0

Hilti HIT-HY 270 mit HAS und HAS-U

Leistung Leichtbeton Hohlblockstein Hbl, 16DF
Charakteristische Werte der Tragfähigkeit unter Zuglast und Gruppenfaktor

Anhang C25

Tabelle C56: Charakteristischer Widerstand gegen Herausziehen eines Einzelankers oder Ausbruch des Mauersteins unter Zugbeanspruchung bei Randabstand $c \geq 50$ mm

Nutzungskategorie			w/w = w/d		d/d	
Gebrauchstemperaturbereich			Ta	Tb	Ta	Tb
Dübeltyp und -größe	h_{ef} [mm]	f_b [N/mm ²]	$N_{Rk} = N_{Rk,p} = N_{Rk,b} = N_{Rk,p,c} = N_{Rk,b,c}$ [kN]			
HAS und HAS-U M8 bis M16	≥ 80	2	1,5	1,2	1,5	1,5
		6	2,5	2,0	3,0	2,5
	160	2	2,0	1,5	2,0	1,5 (2,0*)
		6	3,5	2,5	3,5 (4,0*)	3,0

* nur CAC Reinigung

Zugehörige Achs- und Randabstände und Gruppenfaktoren α_g

Anordnung	$c \geq$ [mm]	$s_{\perp} \geq$ [mm]	$\alpha_{g,N}$ [-]	Anordnung	$c \geq$ [mm]	$s_{ } \geq$ [mm]	$\alpha_{g,N}$ [-]
	50	-	-	-	-	-	-
	50	50	1,0		50	50	1,0
	50	240	2,0		50	240	2,0

Tabelle C57: Charakteristischer Widerstand gegen örtliches Versagen oder Kantenbruch des Mauersteins eines Einzelankers unter Querbeanspruchung bei Randabstand $c \geq 250$ mm (für $V_{||}$) und $c \geq 500$ mm (für V_{\perp})

Dübeltyp und -größe	h_{ef} [mm]	f_b [N/mm ²]	$V_{Rk} = V_{Rk,b} = V_{Rk,c, } = V_{Rk,c,\perp}$ ¹⁾ [kN]
HAS und HAS-U M8, M10	≥ 80	2	4,0
		6	6,5
HAS und HAS-U M12	≥ 80	2	5,5
		6	9,5
HAS und HAS-U M16	≥ 80	2	6,0
		6	10,0

¹⁾ $V_{Rk,b}$ darf als $V_{Rk,c,\perp}$ eingesetzt werden, wenn:

- die Lagerfugen vollständig mit Mörtel verfüllt sind und
- die Stoßfugen vollständig mit Mörtel verfüllt sind oder die Steine direkten Kontakt zueinander haben.

Zugehörige Achs- und Randabstände und Gruppenfaktoren α_g

Anordnung	$c \geq$ [mm]	$s_{\perp} \geq$ [mm]	$\alpha_{g,\perp, }$ [-]	Anordnung	$c \geq$ [mm]	$s_{\perp} \geq$ [mm]	$\alpha_{g,\perp, }$ [-]
	250	-	-		500	-	-
	250	240	2,0		500	240	1,0
Anordnung	$c \geq$ [mm]	$s_{ }$ [mm]	$\alpha_{g ,V\perp}$ [-]	Anordnung	$c \geq$ [mm]	$s_{ }$ [mm]	$\alpha_{g ,V\perp}$ [-]
	250	250	2,0		500	500	2,0

Hilti HIT-HY 270 mit HAS und HAS-U

Leistung Leichtbeton Hohlblockstein Hbl, 16DF

Charakteristische Werte der Tragfähigkeit unter Zug- und Querlast und Gruppenfaktor

Anhang C26

Tabelle C58: Charakteristischer Widerstand gegen örtliches Versagen oder Kantenbruch des Mauersteins eines Einzelankers unter Querbeanspruchung bei Randabstand $c \geq 50$ mm

Dübeltyp und -größe	h_{ef} [mm]	c [mm]	f_b [N/mm ²]	$V_{Rk,c,\perp}$ [kN]
Alle Dübel	≥ 80	≥ 50	2	1,5
			6	3,0
		≥ 250	2	2,5
		c [mm]	f_b [N/mm ²]	$V_{Rk} = V_{Rk,b} = V_{Rk,c,II}$ [kN]
		≥ 50	2	1,5
			6	3,0
≥ 100 $\geq 6 d_0$	2	2,5		

Zugehörige Achs- und Randabstände und Gruppenfaktoren α_g

Anordnung	$c \geq$ [mm]	$s_{\perp} \geq$ [mm]	$\alpha_{g\perp, V, II}$ [-]	Anordnung	$c \geq$ [mm]	$s_{\perp} \geq$ [mm]	$\alpha_{g\perp, V\perp}$ [-]
	siehe Tabelle C58	-	-		siehe Tabelle C58	-	-
	siehe Tabelle C58	50	1,0		siehe Tabelle C58	50	1,0
	siehe Tabelle C58	240	2,0		siehe Tabelle C58	240	2,0
Anordnung	$c \geq$ [mm]	s_{II} [mm]	$\alpha_{gII, VII}$ [-]	Anordnung	$c \geq$ [mm]	s_{II} [mm]	$\alpha_{gII, V\perp}$ [-]
	siehe Tabelle C58	50	1,0		siehe Tabelle C58	50	1,0
	siehe Tabelle C58	250	2,0		siehe Tabelle C58	250	2,0

Tabelle C59: Verschiebungen

h_{ef}	N	δ_{N0}	$\delta_{N\infty}$	V	δ_{V0}	$\delta_{V\infty}$
[mm]	[kN]	[mm]	[mm]	[kN]	[mm]	[mm]
80	0,8	0,20	0,4	2,3	1,0	1,5
160	1,1	0,25	0,5	2,3	1,0	1,5

Hilti HIT-HY 270 mit HAS und HAS-U

Leistung Leichtbeton Hohlblockstein Hbl, 16DF
Charakteristische Werte der Tragfähigkeit unter Querlast und Gruppenfaktor
Verschiebungen

Anhang C27

Art des Mauersteins: Normalbeton Lochstein - parpaing creux

Tabelle C60: Beschreibung des Mauersteins

Steintyp		B40	 <p>Steinzeichnung siehe Tabelle B4</p>
Rohdichte	ρ [kg/dm ³]	$\geq 0,9$	
Druckfestigkeit	f_b [N/mm ²]	≥ 4 oder ≥ 10	
Norm		EN 771-3	
Hersteller		Fabemi (F)	
Steinabmessungen	[mm]	500 x 200 x 200	
Minimale Wanddicke	h_{min} [mm]	≥ 200	

Charakteristische Werte der Tragfähigkeit für alle Dübelkombinationen (siehe Tabelle B3)

Tabelle C61: Charakteristischer Widerstand gegen Herausziehen eines Einzelankers oder Ausbruch des Mauersteins unter Zugbeanspruchung bei Randabstand $c \geq 50$ mm

Nutzungskategorie			w/w = w/d		d/d	
Gebrauchstemperaturbereich			Ta	Tb	Ta	Tb
Dübeltyp und -größe	h_{ef} [mm]	f_b [N/mm ²]	$N_{Rk} = N_{Rk,p} = N_{Rk,b} = N_{Rk,p,c} = N_{Rk,b,c}$ [kN]			
Alle Dübel	≥ 50	4	0,9	0,9	0,9	0,9
		10	2,0	1,5	2,0	1,5
Alle Dübel	≥ 130	4	1,5	1,2	1,5	1,2
		10	2,5	2,0	2,5	2,0

Zugehörige Achs- und Randabstände und Gruppenfaktoren α_g

Anordnung	$c \geq$ [mm]	$s_{\perp} \geq$ [mm]	$\alpha_{g,N}$ [-]	Anordnung	$c \geq$ [mm]	$s_{II} \geq$ [mm]	$\alpha_{g,N}$ [-]
	50	-	-	-	-	-	-
	50	200	2,0		50	200	2,0

Tabelle C62: Charakteristischer Widerstand gegen örtliches Versagen oder Kantenbruch des Mauersteins eines Einzelankers unter Querbeanspruchung bei Randabstand $c \geq 200$ mm (für V_{II}) und $c \geq 500$ mm (für V_{\perp})

Dübeltyp und -größe	h_{ef} [mm]	f_b [N/mm ²]	$V_{Rk} = V_{Rk,b} = V_{Rk,c,II} = V_{Rk,c,\perp}$ ¹⁾ [kN]
Alle Dübel	≥ 50	4	4
		10	6,5
	≥ 80	4	5
		10	7,5

¹⁾ $V_{Rk,b}$ darf als $V_{Rk,c,\perp}$ eingesetzt werden, wenn:

- die Lagerfugen vollständig mit Mörtel verfüllt sind und
- die Stoßfugen vollständig mit Mörtel verfüllt sind oder die Steine direkten Kontakt zueinander haben.

Hilti HIT-HY 270 mit HAS und HAS-U

Leistung Normalbeton Lochstein - parpaing creux

Charakteristische Werte der Tragfähigkeit unter Zug- und Querlast und Gruppenfaktor

Anhang C28

Zugehörige Achs- und Randabstände und Gruppenfaktoren α_g

Anordnung	$c \geq$ [mm]	$s_{\perp} \geq$ [mm]	$\alpha_{g\perp, V II}$ [-]	Anordnung	$c \geq$ [mm]	$s_{\perp} \geq$ [mm]	$\alpha_{g\perp, V\perp}$ [-]
	200	-	-		500	-	-
	200	200	2,0		500	200	1,0
Anordnung	$c \geq$ [mm]	s_{II} [mm]	$\alpha_{gII, VII}$ [-]	Anordnung	$c \geq$ [mm]	s_{II} [mm]	$\alpha_{gII, V\perp}$ [-]
	200	200	2,0		500	500	2,0

Tabelle C63: Charakteristischer Widerstand gegen örtliches Versagen oder Kantenbruch des Mauersteins eines Einzelankers unter Querbeanspruchung bei Randabstand $c \geq 50$ mm

Dübeltyp und -größe	h_{ef} [mm]	c [mm]	f_b [N/mm ²]	$V_{RK, c, \perp}$ [kN]
Alle Dübel	≥ 50	≥ 50	4	1,2
			10	1,5
		≥ 250	4/10	2,5
		c [mm]	f_b [N/mm ²]	$V_{RK} = V_{RK, b} = V_{RK, c, II}$ [kN]
		≥ 50	4	2,0
			10	3,0

Zugehörige Achs- und Randabstände und Gruppenfaktoren α_g

Anordnung	$c \geq$ [mm]	$s_{\perp} \geq$ [mm]	$\alpha_{g\perp, V II}$ [-]	Anordnung	$c \geq$ [mm]	$s_{\perp} \geq$ [mm]	$\alpha_{g\perp, V\perp}$ [-]
	50	-	-		siehe Tabelle C63	-	-
	50	50	1,0		siehe Tabelle C63	50	1,0
	50	200	2,0		siehe Tabelle C63	200	2,0
Anordnung	$c \geq$ [mm]	s_{II} [mm]	$\alpha_{gII, VII}$ [-]	Anordnung	$c \geq$ [mm]	s_{II} [mm]	$\alpha_{gII, V\perp}$ [-]
	50	50	1,0		siehe Tabelle C63	50	1,0
	50	200	2,0		siehe Tabelle C63	200	2,0

Tabelle C64: Verschiebungen

h_{ef}	N	δ_{N0}	$\delta_{N\infty}$	V	δ_{V0}	$\delta_{V\infty}$
[mm]	[kN]	[mm]	[mm]	[kN]	[mm]	[mm]
≥ 50	0,7	0,5	1,0	1,7	1,0	1,5

Hilti HIT-HY 270 mit HAS und HAS-U

Leistung Normalbeton Lochstein - parpaing creux
Charakteristische Werte der Tragfähigkeit unter Querlast und Gruppenfaktor
Verschiebungen

Anhang C29

Art des Mauersteins: Deckenziegel

Tabelle C65: Beschreibung des Deckenziegels

Steintyp		Ds-1,0	 Steinzeichnung siehe Tabelle B4
Rohdichte	$\rho \geq$ [kg/dm ³]	1,0	
Festigkeit		Klasse R2	
Norm		EN 15037-3	
Hersteller		Fiedler Marktrechwitz (D)	
Steinabmessungen	[mm]	510 x 250 x 180	
Minimale Deckendicke	$h_{\min} \geq$ [mm]	≥ 180	

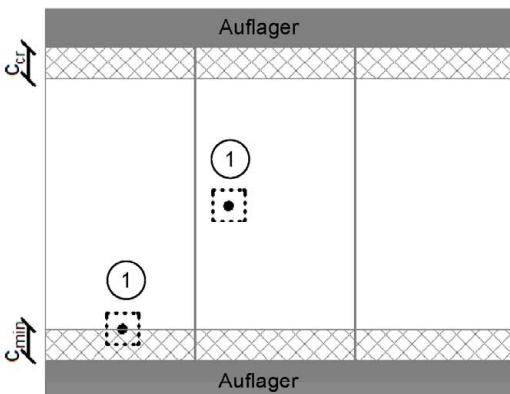
	① Einzelbefestigung Maximal ein Dübel pro Deckenziegel

Tabelle C66: Montageparameter für alle Dübelkombinationen (siehe Tabelle B3)

Befestigungselement	HAS-U M6 mit HIT-SC 12x85	
Randabstand	$c_{\min} = c_{cr}$ [mm]	100 vom Auflager
Achsabstand	$s_{\min \parallel}$ [mm]	510
	$s_{\min \perp} = s_{cr}$ [mm]	250

Tabelle C67: Gruppenfaktor

Gruppenfaktor	$\alpha_{g,N}$ [-]	1
---------------	--------------------	---

Tabelle C68: Charakteristische Zugtragfähigkeit für alle Dübelkombinationen (siehe Tabelle B3)

Nutzungskategorie			w/w		d/d	
Gebrauchstemperaturbereich			Ta	Tb	Ta	Tb
Dübeltyp und -größe	h_{ef} [mm]	Konsolentragfähigkeit [kN]	$N_{RK} = N_{RK,p} = N_{RK,b} = N_{RK,p,c} = N_{RK,b,c}$ [kN]			
Alle Dübel	≥ 80	3	1,5	1,5	1,5	1,5

Tabelle C69: Verschiebungen

h_{ef}	N	δ_{N0}	$\delta_{N\infty}$
[mm]	[kN]	[mm]	[mm]
≥ 80	0,4	0,15	0,30

Hilti HIT-HY 270 mit HAS und HAS-U

Leistung Deckenziegel
Montageparameter und Gruppenfaktor
Charakteristische Werte der Tragfähigkeit unter Zuglast und Verschiebungen

Anhang C30